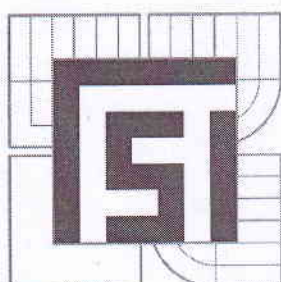


VYSOKÉ UČENÍ TECHNICKÉ V BRNĚ
BRNO UNIVERSITY OF TECHNOLOGY



FAKULTA STROJNÍHO INŽENÝRSTVÍ
ÚSTAV STROJÍRENSKÉ TECHNOLOGIE
FACULTY OF MECHANICAL ENGINEERING
INSTITUTE OF MANUFACTURING TECHNOLOGY

VÝROBA PASTORKU OBJEMOVÝM TVÁŘENÍM

PRODUCTION OF PINION BY SOLID FORMING

DIPLOMOVÁ PRÁCE
MASTER'S THESIS

AUTOR PRÁCE
AUTHOR

Bc. PAVEL FIC

VEDOUCÍ PRÁCE
SUPERVISOR

Ing. MILOSLAV KOPŘIVA

BRNO 2012

Vysoké učení technické v Brně, Fakulta strojního inženýrství

Ústav strojírenské technologie

Akademický rok: 2011/12

ZADÁNÍ DIPLOMOVÉ PRÁCE

student(ka): Bc. Pavel Fic

který/která studuje v **magisterském studijním programu**

obor: **Strojírenská technologie a průmyslový management (2303T005)**

Ředitel ústavu Vám v souladu se zákonem č.111/1998 o vysokých školách a se Studijním a zkušebním řádem VUT v Brně určuje následující téma diplomové práce:

Výroba pastorku objemovým tvářením

v anglickém jazyce:

Production of pinion by solid forming

Stručná charakteristika problematiky úkolu:

Po vypracování literární studie ze zadané problematiky na jejím základě vypracovat návrh vhodné technologie výroby pro zadanou součást.

Cíle diplomové práce:

- 1) Literární rešerše problému
- 2) Stávající možnosti výroby
- 3) Návrh technologie výroby zadané součásti
- 4) Stanovení veškerých technologických dat a vypracování výkresové dokumentace
- 5) Ekonomické zhodnocení
- 6) Závěr a návrh případných opatření

Seznam odborné literatury:

1. ELFMARK, J. et al. Tváření kovů. 1. vyd. Praha : SNTL Praha, 1992. 524 s. Technický průvodce; sv. 62. ISBN 80-03-00651-1.
2. NOVOTNÝ, K. Tvářecí nástroje. 1. vyd. Brno : Nakladatelství Vysokého učení technického v Brně, 1992. 186 str. Edit. VUT Brno. ISBN 80-214-0401-9
3. DRASTÍK, F. Výpočty z oboru kování a lisování. 2. vyd., Praha: SNTL Praha, 1991. 192 s. Edit. Makarius, M., L 13-E1-IV-41/22334/XI, DT 621.73
4. HAŠEK, V. Kování. 3. vyd. Praha : SNTL Praha, 1997. 732 str. ISBN 04-233-65.
5. DVOŘÁK, M., GAJDOŠ, F., NOVOTNÝ, K. Technologie tváření : plošné a objemové tváření. 2. vyd. Brno : CERM, 2007. 169 s. ISBN 978-80-214-3425-7.
6. FOREJT, M., PÍŠKA, M. Teorie obrábění, tváření a nástroje. 1. vyd. Brno : CERM, 2006. 226 s. ISBN 80-214-2374-9.

Vedoucí diplomové práce: Ing. Miloslav Kopřiva

Termín odevzdání diplomové práce je stanoven časovým plánem akademického roku 2011/12.

V Brně, dne 21.11.2011

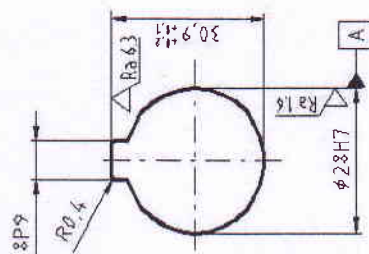


prof. Ing. Miroslav Píška, CSc.
Ředitel ústavu

prof. RNDr. Miroslav Doupovec, CSc.
Děkan

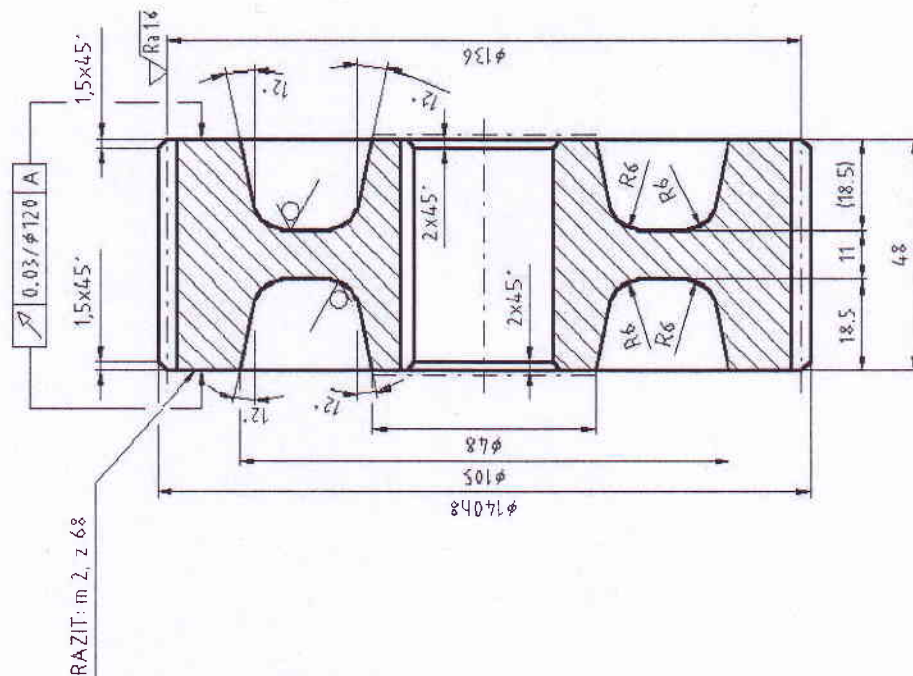
$$\nabla \sqrt{R_3} \left(\nabla \sqrt{R_3} \nabla \sqrt{R_3} \right)$$

Modul	ln	2
Počet žubů	2	68
Nemšký základní profil	-	$\bar{C}SN$ 114617
Úsek sekvenčního ležení ZUB	1	
Šířka průseků v pořadí	6-D	$\bar{C}SN$ 114682
Úsek sekvenčního ležení ZUB	21*	
délka sekvenčního ležení ZUB		
za výškou	F-1	1,132
délka sekvenčního ležení	F-1	1,14
Kontrolky -		
váhy	za roštěc	
menší	úsek ležení ZUBU	Fb
úvodky	VZ úseku ležení fi 95	f a
		±1,14
Společné -	Cíle výšek	Df 2112-11
radií	počet ZUBU	-
	vzdálenost fi os	34
	z výšky	113,4
Prvníček základní kružnice	d b	127,9
Prvníček rozléané kružnice	d	B6
Prvníček páté kružnice	d f	B15



CEMENTOVAT DO HLUBKY 0,5 - 0,7
KALIT HRC 58 ± 4

				Příloha ISO 2768-TRK	Náleží k čl. 2.2.1	Tl. 741
	Toleranční ISO	801.5	Pouze významový výkrovek			
Praměn:			Hebk. hodnoty: 3,0			
				ÚSTAV STROJARSKÉ TEKNOLOGIE		
				Výzkum řemesel a řemeslnického zemědělství		
Zeměřidlo	Datum	Index	Početní	Název	PASTOREK d140	
Kovový P A V E L F I C	Pozitívna		1:1		Číslo výrobu	
Přesnostní úroveň						
Technolog.						
Starý výrobek						
Cílem novému						
Cílem nový						
Schematiky						
Datum 10.10.2.111						



ABSTRAKT

V předložené diplomové práci je provedena detailní studie znalostí z objemového tváření za tepla – kováním. Dále je zpracován návrh technologií výroby pastorku d140 č.v.: DP2012 – 01 a stanovení optimálního technologického postupu s využitím počítačové simulace. Součást je z oceli 14220. Polotovar je tyč ø80 x 150 ČSN 42 5510.21. K předpokládané sérii 160 tis. ks a požadovanému mechanickému zatížení součásti je volena technologie záplastkového kování na svislém kovacím lisu LMZ 2500, od firmy Šmeral Brno a.s. Ke zpracování technologického postupu byly provedeny nutné výpočty a navazující výkresová dokumentace.

Klíčová slova

objemové tváření, záplastkový výkovek, kovací stroj, kování, simulace

ABSTRACT

In a present diploma thesis is detail study from volume hot-forming knowledge – forging. In thesis is make proposal of technologies how to produce a pinion d140 drawing nr.: DP2012 -01 and the optimatization of technology procedure with help a computer simulation. Quality of part is steel 14220. Semi-product is a bar ø80 x 150 ČSN 42 5510.21. For presumption series 160 thousand pieces and mechanical stressed working of piece is choose drop forging technology in the vertical forging press LMZ 2500, product of Šmeral Brno. From technical procedure were made necessary calculations and follow drawing documentation.

Key words

volume forming, drop forging piece, forging machine, simulation

BIBLIOGRAFICKÁ CITACE

FIC, Pavel. *Výroba pastorku objemovým tvářením*. Brno 2012. Diplomová práce. Vysoké učení technické v Brně, Fakulta strojního inženýrství, Ústav strojírenské technologie. 69 s. 22 příloh. Vedoucí práce Ing. Miloslav Kopřiva

PROHLÁŠENÍ

Prohlašuji, že jsem diplomovou práci na téma **Výroba pastorku objemovým tvářením** vypracoval samostatně s použitím odborné literatury a pramenů, uvedených na seznamu, který tvoří přílohu této práce.

24.05.2012

Datum

Bc. Pavel Fic

PODĚKOVÁNÍ

Děkuji tímto vedoucímu diplomové práce Ing. Miloslavu Kopřivovi za cenné připomínky a rady při vypracování diplomové práce.

OBSAH

ABSTRAKT	4
PROHLÁŠENÍ.....	5
PODĚKOVÁNÍ	6
OBSAH	7
Úvod.....	10
1 LITERÁRNÍ STUDIE ZNALOSTÍ Z OBJEMOVÉHO TVÁŘENÍ – ZÁPUSTKOVÉHO KOVÁNÍ	11
1.1 Definice zápustkového kování.....	11
1.2 Určení přídavků a tolerancí u zápustkového výkovku.....	12
1.2.1 Přídavky na obrábění.....	12
1.2.2 Zaoblení hran a přechodů u zápustkových výkovků	13
1.2.3 Úkosy	14
1.2.4 Minimální tloušťka dna - blány a stěny zápustkových výkovků	14
1.2.5 Zásady pro určení dělící roviny u zápustkových výkovků	15
1.3 Výronková drážka - žlab	16
1.4 Volba polotovaru.....	17
1.4.1 Volba polotovaru informativním výpočtem.....	17
1.4.2 Volba polotovaru na základě ideálního předkovku	17
1.5 Dělení polotovaru pro kovací operaci	17
1.5.1 Dělení rezáním	18
1.5.2 Dělení stríháním	18
1.5.3 Dělení lámání.....	18
1.6 Ohřev materiálu - kovů	19
1.7 Ohřívací zařízení používané při zápustkovém kování	20
1.7.1 Ohřev v pecích	20
1.7.2 Elektrický ohřev	22
1.7.3 Topná media používaná v ohřívacích zařízeních.....	23
1.8 Volba stroje pro zápustkové kování.....	23
1.8.1 Zápustkové kování na bucharech a výpočet velikosti bucharu	24
1.8.2 Zápustkové kování na lisech a výpočet velikosti lisu	25
1.8.3 Rozdíly při kování na lisech a bucharech	26
1.9 Vyazování (vyrážení) výkovků	27
1.10 Dokončování zápustkových výkovků	28
1.10.1 Ostřihování zápustkových výkovků	28
1.10.2 Rovnání	29

1.10.3 Kalibrace	30
1.11 Nástroje pro záplastkové kování – záplastky	30
1.11.1 Konstrukční řešení záplastek	30
1.11.2 Materiál záplastek – požadavky (nároky)	31
1.11.3 Předehřev záplastek	32
1.11.4 Mazání záplastek	32
1.12 Simulace	33
2 SOUČASNÝ STAV ŘEŠENÍ	34
2.1 Kování na bucharech	34
2.2 Kování na klikových kovacích lisech	34
2.3 Kování na vřetenových lisech	35
2.4 Vyhodnocení současného stavu	35
3 NÁVRH POSTUPU VÝROBY POLOTOVARU PASTORKU TVÁŘENÍM ZA TEPLA – ZÁPLASTKOVÝM KOVÁNÍM	36
3.1 Volba případků a návrh výkresu výkovku	36
3.1.1 Případky na obrábění	36
3.1.2 Technologické případky	36
3.2. Informativní výpočet tvářecí síly dle ČSN 22 8306	37
3.2.1 Průměr výkovku bez výronku - D_v	37
3.2.2 Průměr plochy výkovku bez výronku - S_v	37
3.2.3 Tvar a rozměry zvolené výronkové drážky dle ČSN 22 8306 (Obr. 3.1)	37
3.2.4 Výpočet hmotnosti neostříženého výkovku	38
3.2.5 Výpočet hmotnosti polotovaru	42
3.2.6 Návrh výchozího polotovaru	43
3.2.7 Kontrola volby výšky výronkového můstku	43
3.2.8 Tvářecí síla – informativní stanovení dle ČSN 22 8306	43
3.2.9 Tvářecí síla – výpočet dle Rebeljski - Brjuchanov	43
3.2.10 Tvářecí síla – výpočet dle Storoževa	44
3.2.11 Tvářecí síla – dle nomogramu Eumuco	45
3.3 Teoretický výpočet tvářecí síly dle ČSN 22 8306	45
3.3.1 Napětí v jednotlivých bodech průřezu výkovku	45
3.3.2 Síla vznikající od normálních napětí	47
3.3.3 Síla vznikající od tangenciálních napětí	51
3.3.4 Výsledná kovací síla	53
3.3.5 Volba varianty kování	53
3.4 Kontrola tvářecího procesu pomocí simulace	53

3.5 Srovnání výpočtových metod kovací síly	56
3.6 Návrh tvářecího stroje.....	56
3.7 Výpočet ostřihovací síly	56
3.8 Návrh ostřihovacího stroje	57
3.9 Kontrola rozměrů záplastkového bloku	57
3.9.1 Předkovací záplastka - ověření.....	57
3.9.2 Dokončovací záplastka - ověření.....	57
3.10 Stupeň prokování.....	57
3.11 Rozvržení pracoviště, schématický postup kování a postupový list.....	58
3.11.1 Rozvržení pracoviště v dílně	58
3.11.2 Schématický postup kování a jednotlivé operace v záplastkách	58
3.11.3 Pracovní postup	59
4 NÁVRH SESTAVY A VÝROBNÍCH VÝKRESŮ	60
5 TECHNICKO – EKONOMICKÉ ZHODNOCENÍ.....	62
6 ZÁVĚR	65
Seznam použitych zdrojů.....	66
Seznam použitych zkratek	67
Seznam příloh.....	69

ÚVOD

Technologie objemového tváření – kování patří mezi nejstarší řemesla. Umožňuje zpracování vhodných součástí s optimální spotřebou vstupního materiálu. Využívá se v sériové a hromadné výrobě především u součástí z automobilového, loděnického a leteckého průmyslu, výroby zemědělské techniky, pracovního nářadí, ložisek atd. Kovárny a lisovny jsou jednou z nejdůležitějších částí strojírenského průmyslu a přispívají velkou měrou k celkovému rozvoji hospodářství.

V diplomové práci se zabývám navrzením technologie výroby pastorku pomocí záplastkového kování. V dalších kapitolách je zpracována literární rešerše současných znalostí z tváření a návrh výroby polotovaru pastorku. V kapitole tří jsou provedeny jednotlivé výpočtové metody tvářecích sil pro dvě varianty, které slouží pro následné stanovení tvářecího stroje. U vybrané varianty je provedena kontrola tvářecího procesu metodou konečných prvků za pomoci simulačního softwaru. Dále jsou navrženy nástroje pro tváření včetně výkresové dokumentace a technicko-ekonomické zhodnocení.

1 LITERÁRNÍ STUDIE ZNALOSTÍ Z OBJEMOVÉHO TVÁŘENÍ – ZÁPUSTKOVÉHO KOVÁNÍ

1.1 Definice zápustkového kování

Zápustkové kování je tváření polotovaru ohřátého na určenou kovací teplotu, v dutině zápustky, která má stanovenou pracovní teplotu. Dochází zde k plastické deformaci kovu za tepla, který tak nabývá požadovaný tvar, výhodnou mikrostrukturu, příznivou makrostrukturu a vysoké mechanické vlastnosti. Tím jsou výkovky předurčeny k použití v nejnáročnějších provozních podmínkách, hlavně pak tam, kde se kromě vysokých hodnot mechanických vlastností vyžaduje též nízká hmotnost součástí. Zápustkové výkovky se využívají v širokém okruhu průmyslových odvětví, jako je automobilový, letecký nebo loďařský průmysl. V dnešní době se pohybuje hmotnost takto kovaných výkovků v rozmezí od několika gramů do stovek kilogramů.

Zápustkové výkovky viz. (Obr. 1.1) se zhotovují v tzv. zápustkách, které dají tvářenému kovu požadovaný tvar. Kování se provádí na velkém množství rozličných tvářecích strojů, převážně z válcovitého materiálu. Tlak či ráz tvářecího stroje působí vesměs současně na celý objem výkovku. Výhodou zápustkových výkovků jsou malé přídavky na obrábění, značná rozměrová přesnost a povrchová čistota, která vyžaduje minimální tráskové obrábění. V mnoha případech se výkovky vůbec neobrabují.



Obr. 1.1 – Příklady jednotlivých zápustkových výkovků [11]

Výkovky (volně kované i záplastkové) mají ve strojírenství velký význam. Nebylo tomu vždy, ještě na počátku minulého století hrála kovárenská výroba podřadnou úlohu. Důvodem byla nákladná kusová výroba výkovků se značnými přídavky na obrábění. Při jejich opracování na obráběcích strojích docházelo k velkým ztrátám ve formě odpadu (kovových třísek). Dále je potřeba vzít v úvahu, že technologie třískového obrábění dosáhla již v této době velmi vysoké úrovně. K obratu došlo při rozvoji velkosériové a hromadné výroby, což podpořilo prudký rozvoj kovárenské technologie. Důležité také bylo, že třísky lze na obráběcích strojích odebírat stále stoupající rychlostí, nelze však snížit jejich objem. A to bylo dosažitelné především záplastkovým kováním, které umožňuje snížit materiálové přídavky a tím i pracnost následujícího mechanického opracování.

Dnes je v kovárenské technologii snaha o maximální využití materiálu, zvýšení produktivity práce a zlepšení pracovních podmínek v kovárnách. Proto se zavádí různé varianty výchozích materiálů, nové metody ohřevu, nové technologické postupy, speciální nástroje a jednoduché přípravky při. Technologická příprava výroby je v dnešní době snadnější a výrazně rychlejší s pomocí výpočetní techniky.

1.2 Určení přídavků a tolerancí u záplastkového výkovku

Hotové součásti nemusí být často svým tvarem vhodné ke kování v záplastkách, a tak nestačí je vykovat pouze s přídavky na obrábění. Proto se ještě tvar součásti upravuje technologickými přídavky. Mezi technologické přídavky patří úkosy bočních ploch, zaoblení hran a zvětšení tloušťek stěn žeber a den tenkostenných výkovků na minimální tloušťku, kterou je možno ekonomicky a kvalitně kovat. I v jiných případech upravujeme některé součásti technologickými přídavky. Bývají to některé příliš členité plochy součástí s úzkým a hlubokým vybráním, dále dutiny a vybrání ve směru kolmém k pohybu beranu tvářecího stroje, které není možné běžným kováním vyrobit a musí být vyplněny technologickým přídavkem.

Při návrhu tvaru výkovku se vychází z výkresu součásti a je nutné stanovit:

- Přídavky na obrábění
- Technologické přídavky
- Úchylky a tolerance rozměrů a tvarů
- Polohu dělící roviny

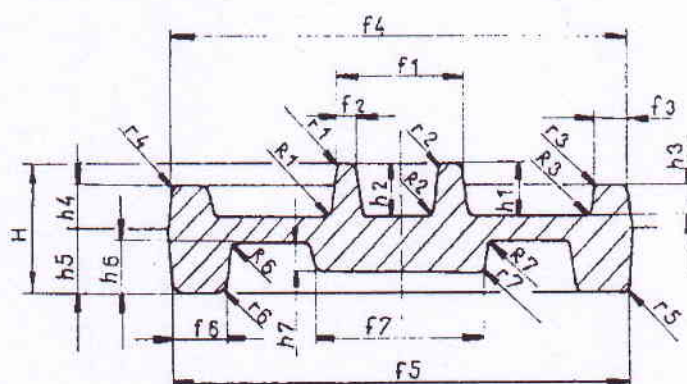
1.2.1 Přídavky na obrábění

Přídavky na obrábění se určují dle normy ČSN 42 9030. Dělí se na obvyklé, přesné a velmi přesné provedení. Tyto přídavky jsou totožné pro všechny rozměry výkovku a stanovují se podle námi zvolené přesnosti výroby, největšího rozměru hotového výrobku ve směru kolmo k rázu a podle největší výšky hotového výrobku. U nerotačních tvarů je největší rozměr výrobku kolmo ve směru kolmo k rázu definován střední hodnotou součtu největší šířky a délky výrobku. U výkovku s netvářenou částí se pro stanovení přídavků k největší výšce tvářené části výrobku připočítává ještě dvojnásobek rozměru sousední netvářené části výkovku. Přídavky na obrábění se vztahují na plochu. U průměrů nebo jiných tvarových částí obráběných po obvodě je nutné hodnoty zdvojnásobit. U výkovků

s netvářenou částí se volí přídavek na obrábění v netvářené části minimálně v hodnotě přídavku pro část tvářenou.

1.2.2 Zaoblení hran a přechodů u záplustkových výkovků

Zaoblené hrany a přechody u záplustek mají významný vliv při výrobě záplustky a na zvýšení životnosti. Zlepšují tečení materiálu, čímž se snadněji zaplní kovací dutiny. Lépe se vyjímá samotný výkovek z dutiny. Velikost zaoblení hran určuje ČSN 42 9030. Na (Obr.1.2) jsou hodnoty zaoblení hran uvedené v (Tab. 1.1), které platí pro neobráběné hrany výkovku. Pro obráběné hrany výkovku se limitní hodnota r stanoví z podmínky zachování přídavku na obrábění v oblasti hrany. Hodnoty zaoblení přechodů R uvedené v (Tab. 1.1) určují neobráběné přechody na výkovku a pro stanovení technologického přídavku pro obráběné přechody na výkovku.[14]



Obr. 1.2 – Zaoblené hranы a přechody záplustkového [14]

Tab. 1.1 – Tabulka pro stanovení zaoblení hran r a přechodů R výkovků [14]

Výška (hloubka) h	Poloměry zaoblení hran a přechodů při poměru						
	$\frac{h}{f}$ do 2		$\frac{h}{f}$ přes 2 do 4		$\frac{h}{f}$ přes 4		
přes	do	r	R	r	R	r	R
	25	2	6	2	8	3	10
25	40	3	8	3	10	4	12
40	63	4	10	4	12	5	20
63	100	5	12	6	20	8	25
100	160	8	20	8	25	16	40
160	250	12	30	16	45	25	65
250	400	20	50	25	75	40	100
400	630	30	80	40	120	65	150

1.2.3 Úkosy

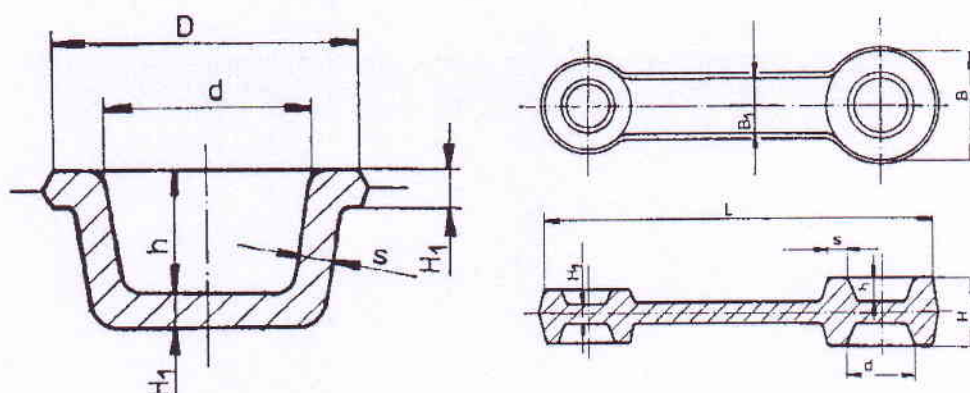
Boční úkosy a jejich hodnota se stanovuje podle tvaru výkovku a druhu tvářecího stroje. (Tab. 1.2) uvádí doporučené boční úkosy. Pro vnitřní plochy a plochy dutin se doporučují úkosy větší než pro plochy vnější. U horizontálních kovacích strojů je možno úkosy podstatně zmenšit. U bočních úkosů dochází k navýšení přídavku. Minimální přídavek je tedy vždy na hranách a rozích výkovků, proto je zapotřebí dosáhnout dokonalého zatékání kovu do záplastky a dokonalé očištění materiálu od okrajů, aby nebyl v těchto místech přídavek zbytečně zmenšován. Velikost úkosů také ovlivňuje použití vyrážeče v nástroji. Pokud je vyrážeč použit, mohou se úkosy volit menší.

Tab.1.2 – Tabulka ke stanovení úkosů u záplastkových výkovků [14]

	vnitřní	vnitřní
Záplastkové výkovky se běžně vyrábějí s úkosy	3°	7°
Vzhledem k rozdílné úrovni technologického zařízení výrobců výkovků se dovolují úkosy	7°	10°
• Pro buchary a lisy bez vyhazovače	2° až 3°	3° až 5°
• Lisy s vyhazovačem	0° až 5°	0° až 5°
• Vodorovné kovací stroje	0° až 5°	0° až 5°

1.2.4 Minimální tloušťka dna - blány a stěny záplastkových výkovků

Nejmenší tloušťka dna a stěny se stanovuje pomocí ČSN 42 9030. Hodnoty nejmenší tloušťky dna nebo blány výkovku H1 uvedené v (Tab. 1.3) platí pro obráběné i neobraběné plochy viz. (Obr. 1.3). U tenkostenných výkovků a žeber se nedoporučuje kovat příliš tenké stěny, z důvodu dotyku oceli se záplastkou rychle chladne, čímž se tváření ztěžuje a dochází k rychlému opotřebení záplastky.



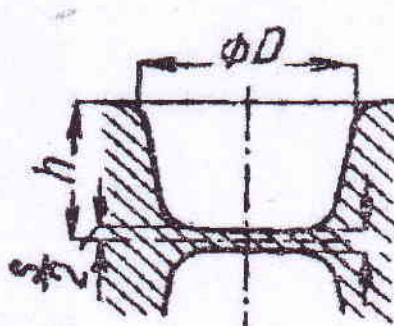
Obr. 1.3 – Příklady nejmenšího dna a nejmenší tloušťky stěny výkovku [14]

Tab.1.3 – Tabulka sloužící ke stanovení nejmenší tloušťky dna, disku H_l a stěny s . [14]

Největší rozměr výkovku ve směru kolmo k rázu (B, D)		Největší výška výkovku H							
		přes do 10	10	25	40	63	100	160	250
přes	do	Nejmenší tloušťka dna , disku H_l a stěny s							
	40	4	5	6	7	9			
40	63	5	5	6	7	9	11		
63	100	5	6	7	9	11	13	15	
100	160	6	7	9	11	13	15	17	20
160	250	8	9	11	13	15	17	20	25
250	400	10	13	15	17	20	25	30	35
400	630			20	25	30	35	40	50
630	1000			25	30	35	40	50	60

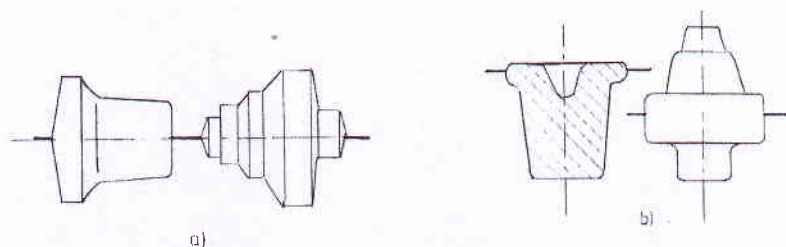
V nutných případech jsou možné odchylky od této normy, ale mohou se vyskytnout potíže při kování (rychlejší chladnutí stěny, zvýšení potřebné síly ke kování a vyšší nároky na kovací stroj). Tloušťka blány t (Obr. 1.4) se počítá dle vzorce:

$$t = 0,45\sqrt{D - 0,25h - 5} + 0,6\sqrt{h} \quad [\text{mm}] \quad (1.1)$$

**Obr. 1.4 – Tloušťka blány [2]**

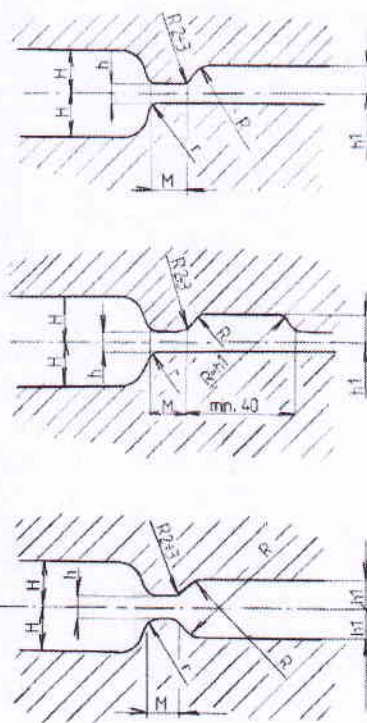
1.2.5 Zásady pro určení délící roviny u zápusťkových výkovků

Rozdělení výkovku má být symetrické (klesá spotřeba materiálu a zlepšuje se kvalita střihu při ostřihování). Slouží k snadnému vyjmání výkovku ze zápusťky. Umisťuje se obvykle do roviny dvou největších vzájemně kolmých rozměrů výkovku, nebo do roviny souměrnosti výkovku (Obr. 2.5a). Tato zásada se nerespektuje, jestliže jiná volba délící roviny umožňuje zmenšení obvodu výronku za současného zjednodušení ostřihování výronku (Obr. 2.5b) [2].



1.3 Výronková drážka - žlab

Výronková drážka (Obr. 2.18) se vytváří kolem celé dokončovací dutiny záplustky v dělící rovině. Drážka je tvořena zásobníkem a můstekem, který zvyšuje odpor proti vytěčení materiálu do drážky a pomáhá zajistit dokonalé zaplnění dutiny záplustky. Je buď v jedné nebo v obou záplustkách. Šířku výronkového žlábků volíme podle hloubky a tvaru dutiny záplustky. Hloubku výronkového žlábků volíme podle velikosti a tvaru výkovku. Čím je výkovek větší, tím větší musí být i hloubka drážky. U výkovku s žebry nesmí být hloubka žlábků veliká, protože materiál by špatně vyplňoval dutinu pro žebro. Hloubka drážky se volí 2 – 8 mm a nebývá vždy stejná po celém obvodu tvaru výkovku. Tvar a rozměry drážky pro lisy popisuje norma ČSN 22 8306.



Obr. 1.6 – Možnosti výronkových drážek [12]

1.4 Volba polotovaru

Polotovar volíme podle výkresu výkovku, který obsahuje všechny přídavky (přídavky na obrábění a technologické přídavky). Z výkresu výkovku určíme objem a hmotnost výkovku. Dále navrheme rozměry výchozího polotovaru početně podle informativních vzorců nebo početně z nákresu ideálního předkovku.

Rozměry výchozího polotovaru jsou dány technologickým postupem a požadavkem uživatele. Materiál je volen z provozních podmínek současti a podle tvárcí vhodnosti. Výchozím materiélem bývá polotovar čtvercového, kruhového a obdélníkového průřezu. Z rozměrů, množství a způsobu dělení polotovarů se určí délka a počet tyčí. Je nutné provádět kontrolu velikosti výchozího polotovaru pomocí kovací zkoušky.

1.4.1 Volba polotovaru informativním výpočtem

$$d_{polotovaru} = \sqrt[3]{\frac{m_{polotovaru}}{\rho \cdot n}} \quad [\text{mm}] \quad (1.2)$$

- hmotnost polotovaru $m_{polotovaru} = m_{výk} \cdot \delta \quad [\text{kg}]$
- štíhlostní poměr $n' = (\text{volí se od } 1,5 \text{ do } 2,5) \quad [-]$
- opal $\delta = v \% \text{ z hmotnosti výkovku} \quad [-]$
(volí se od 1% do 6% dle typu ohřevu)
- hmotnost neostř. výkovku $m_{výk} \quad [\text{kg}]$

Na základě stanoveného polotovaru se určí nejbližší vyšší průměr podle hutního sortimentu daného druhu materiálu.

1.4.2 Volba polotovaru na základě ideálního předkovku

Výkovek se rozdělí příčnými řezy na kolik částí, kolik je na nich rozdílných průřezů. Pro každý příčný řez se vypočte plocha výkovku i s výronkem, která musí být stejná jako plocha příslušného řezu u ideálního předkovku. Vypočítané hodnoty se zaznačí do průřezového obrazce, pomocí kterého sestrojíme ideální předkovek.

1.5 Dělení polotovaru pro kovací operaci

Do kováren se výchozí polotovary dodávají vesměs v obchodních délkách (2 až 12 m). Výchozí polotovary se dále dělí na kratší vsázkové polotovary (špalky, špalíky, přírezy, nápichy), jejichž hmotnost odpovídá vypočtené hmotnosti výchozího polotovaru pro daný výkovek. Pro záplastkové kování se uplatňují tyto základní způsoby dělení materiálu: řezání, stříhání a lámání [3].

1.5.1 Dělení řezáním

Na řezání polotovarů se používají pily rámové, pásové nebo kotoučové. Odlišující faktory těchto způsobů jsou v přesnosti, jakosti a rychlosti provedení, ovlivněním oblasti řezu a vhodnosti pro řezání různých tvarů, rozměrů a druhů materiálu. Nevýhodou je vznikající materiálový prořez v místě řezu, který je dán tloušťkou řezného nástroje. Další nevýhoda je nízká produktivita a vysoká spotřeba řezných nástrojů. Mezi výhody patří dosažení přesné a dobré kvality řezné plochy.

V současné době se rámové a kotoučové pily příliš nepoužívají. Mají nižší náklady, ale jsou o proti pásové pile nevýkonné z hlediska času. Nejvíce používané pro řezání materiálu jsou pásové pily. Ty jsou vhodné pro velké série, a protože lze řezací proces snadno zautomatizovat – přísun tycí a odsun přířezu včetně jeho rozměrové kontroly.

1.5.2 Dělení stříháním

Stříhání je postupné nebo současné oddělování části materiálu působením protilehlých břitů nožů a k ustřízení dojde na základě smykového napětí. Polotovary se mohou stříhat buď za tepla, nebo za studena. Při stříhání působí síly od nožů v určité vzdálenosti od sebe. Proto zde dochází k natáčení materiálu, které má vliv na zhoršení kvality plochy střihu, popř. dochází i k vylamování břitů nožů. Natáčení stříhaného materiálu lze odstranit vhodně zvoleným tlakem přidržovače.

Stříhání se provádí na nůžkách, což jsou v podstatě výstředníkové lisy a klikové lisy.

1.5.3 Dělení lámání

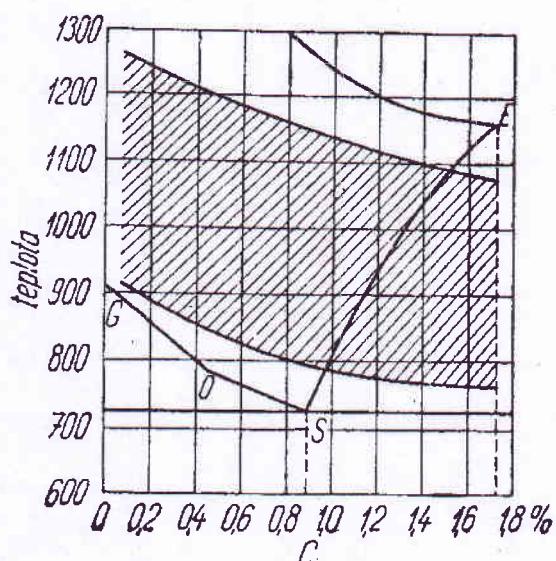
Lámání se provádí jen za studena na mechanických a hydraulických lisech. Dále se používá u materiálu s vyšší pevností ($R_m \geq 700 \text{ MPa}$). Před lámáním je nutno vytvořit v místě budoucího lomu vrub pilou nebo plamenem.

Předností lámání je velká produktivita, což ho předurčuje hlavně pro velkosériovou výrobu. Další výhodou je nižší energetická náročnost proti stříhání, vysoká výrobnost. Avšak lomová plocha není tak hladká jako u stříhání, a proto se lámání nepoužívá tam, kde má být prováděno pěchování materiálu.

1.6 Ohřev materiálu - kovů

Ohřev polotovaru při záplastkovém kování je jeden z nejdůležitějších faktorů. Ohřevem se zvyšuje tvařitelnost a snižuje deformační odpor, což má příznivý vliv na energetickou náročnost tváření, životnost tvářecích nástrojů a produktivitu tváření [3].

Při kování je nutné dodržet určité teplotní rozmezí, přičemž koveme zpravidla při nejvyšších kovacích teplotách, kdy se materiál nejlépe tváří. Horní kovací teploty leží asi $200^{\circ} - 300^{\circ}\text{C}$ pod solidem (Obr. 1.7.), jelikož při vyšších teplotách začíná natavování materiálu. Spodní kovací teploty jsou vymezeny přeměnou fáze γ v α a závisí na obsahu C v kovu. Kovací teploty pro záplastkové kování se volí větší než pro volné kování.



Obr. 1.7 – Rozsah kovacích teplot v diagramu Fe- Fe_3C [2]

Setrvání na vysokých teplotách by nemělo být příliš dlouhé, protože hrozí zhrubnutí zrna. Proto je nutné, aby kovací teploty odpovídaly požadovanému stupni deformace. Je-li deformace kovu dostatečně velká, dojde ke zjemnění zrna, pokud je deformace nedostatečná, zůstane hrubší zrno a musí následovat tepelné zpracování, což často nastává u výkovků složitějších tvarů.

Při určení doby ohřevu je nutné dosáhnout předepsané tvářecí teploty, co nejmenšího pnutí, rovnoměrného prohřátí a nízké energetické náročnosti ohřevu. Doba ohřevu je závislá na tloušťce polotovaru.

Pro stanovení správné technologie ohřevu materiálu pro kování je důležité chemické složení materiálu, interval kovacích teplot, strukturální změny materiálu při ohřevu a ochlazování, předchozí mechanické zpracování, napjatost v materiálu, stupeň deformace, náchylnost k přehřátí a změna teploty během výrobního pochodu.

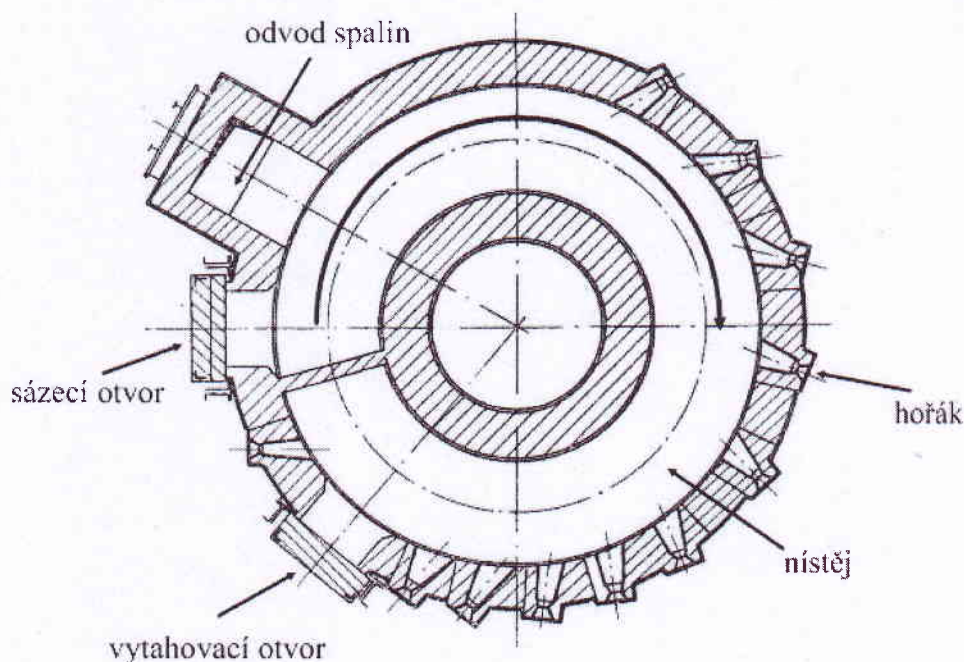
1.7 Ohřívací zařízení používané při záplastkovém kování

Ohřev materiálu v záplastkových kovárnách se dělí dle topného média. Jsou to pece elektrické a plynové. Dříve se používaly také pece na tuhá paliva. Tyto pece se dnes z ekologického hlediska nepoužívají. Dále můžeme pece dělit podle způsobu pohybu materiálu na strkací, otočné a krokové. Používají se pece karuselové, talířové, strkací, komorové, štěrbinové a indukční nebo odporový ohřev. Výběr pece závisí na druhu paliva a charakteru výroby, na profilu a rozměrech zahřívaného materiálu.

1.7.1 Ohřev v pecích

- Karuselové peci

Jedná se o průchozí pece (Obr. 1.8), které se používají pro ohřev širokého sortimentu materiálu. Otočná nástěj tvaru mezikruží je uložena na koulích v drážkách nebo řadě pevně uložených nosných kladkách. Otočná plocha se skládá z části předehřívací, ohřívací a vyrovnávací. Hořáky jsou v peci umístěny proti pohybu nástěje. Účinnost pecí je 30 – 40%, dosahovaný výkon 200 – 450 kg/m² hod.



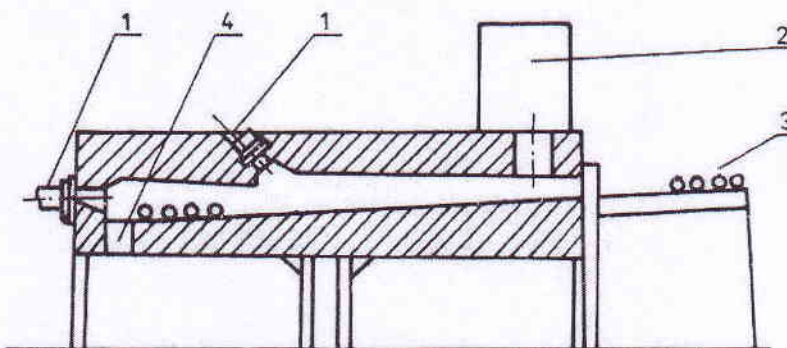
Obr. 1.8 – Karuselová pec [2]

- Talířové peci

Řadíme je mezi pece karuselové. Ohřívaný polotovar se pohybuje v jednom pracovním prostoru. Výhodou je cyklický chod, rovnoměrné rozložení ohřívaného materiálu a snadnější obsluha při zakládání a vyjmání. Nevýhodou je využití tepla odcházejících spalin, které by se dalo využít k předeheřívání materiálu.

- *Strkací pec*

Pece strkací (Obr. 1.9) patří do skupiny průchozích pecí. Je to jedna z nejvhodnějších pecí pro ohřev materiálu k záplustkovému kování ve větších sériích. Podle provedení níštěje a vkládání materiálu je můžeme rozčlenit na pece s rovnou níštějí a na pece s vodícími drážkami. Pracovní prostor se skládá z pásmu předehřívacího a ohřívacího. Tím stoupne i účinnost na 24 - 35% a měrný výkon na 250 – 350 kg/m² hod. U pecí s větší délkou pracovního prostoru dosáhneme výkonu až 500 kg/m² hod [2].

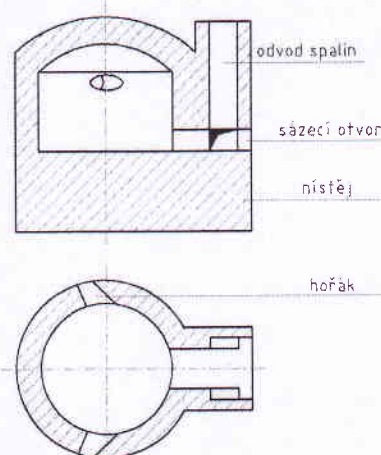


Obr. 1.9 – Strkací pec

- 1. Hořák
- 2. Odvod spalin
- 3. Sázecí otvor
- 4. Vytahovací otvor

- *Komorové pec*

Komorových pecí je mnoho typů, lišících se konstrukcí a provedením, tvarem pracovního prostoru, počtem pracovních dveří a jejich umístěním, skladbou vyzdívky, umístěním hořáků, jejich počtem a druhem, umístění odtahů apod. Volba vhodného typu pece závisí na jejím použití a umístění, na druhu sortimentu a kovacím procesu. Komorové peci jsou konstrukčně jednoduché a snadno se obsluhují. Užívají se v kusové a malosériové výrobě. Nové typy těchto pecí pracují s nepřetržitým zakládáním a vyjmáním materiálu, čímž je lze použít i v hromadné výrobě. Pohyb materiálu můžeme mechanizovat pomocí tlaček a samospádu. Komorové peci mají nízkou tepelnou účinnost. Pece komorové (Obr.1.10) pro záplustkové kování se zásadně dělí na jednodveřové, dvoudveřové na čelní a zadní stěně, třídveřové a vícedveřové.



Obr. 1.10 – Komorová pec

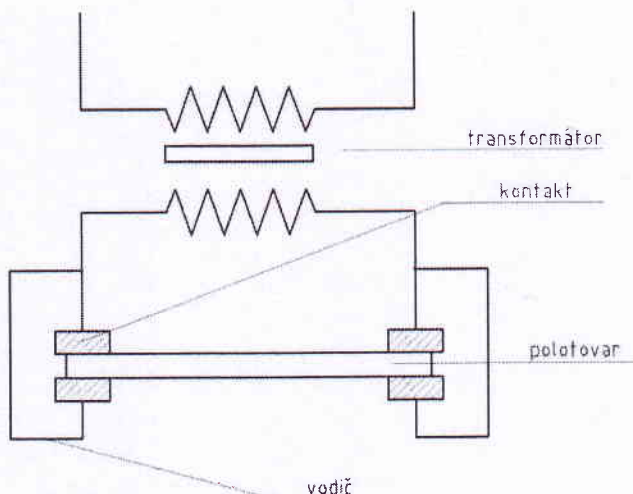
- *Štěrbinové pece*

Používají se pro ohřev konců tyčí, trubek nebo přířezů u vodorovných kovacích lisů. Materiál se zakládá na stůl pece a jen svou okrajovou částí zasahuje do ohřívacího prostoru. Tyto pece se dělí na pece s uzavřenou štěrbinou a průchozí štěrbinové pece.

1.7.2 Elektrický ohřev

- *Odpornový ohřev*

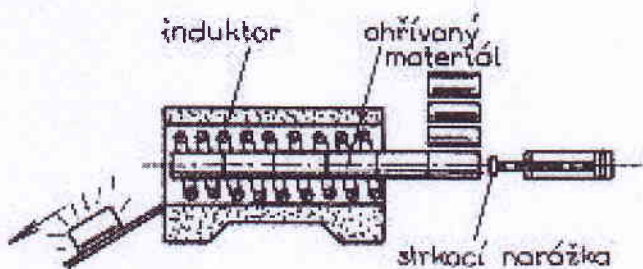
Odpornový ohřev (Obr. 1.11) se rozděluje na ohřev přímý a nepřímý. Při elektrickém přímém odpornovém ohřevu vzniká teplo procházením proudu v ohřívaném předmětu na základě ohmického odporu. Proto je teplota v celém průřezu součásti prakticky stejná i za velmi rychlého ohřevu. Doba ohřevu se zkracuje se zvětšující se intenzitou přiváděného proudu. I přes velkou účinnost a nižší investiční náklady se tohoto způsobu používá jen pro spojení se speciálními pěchovacími stroji, hlavně pro konstrukční problémy vznikající za provozu pecí. Nepřímého odpornového ohřevu ocelových materiálů se pro kování používá zřídka, vzhledem k velkému růstu okují a velkým rozměrům pece pro velké výkony.



Obr. 1.11 – Odpornový ohřev

- *Indukční ohřev*

Při tomto způsobu ohřevu vzniká teplo při umístění polotovaru do indukční cívky (Obr. 1.12), kterou protéká střídavý proud o určité vhodné zvolené frekvenci. Hloubka, do které má střídavý proud účinek, je závislá na frekvenci proudu a odporu materiálu. Výhodou tohoto způsobu ohřevu je dodržení kovací teploty, dokonalejší prohřátí materiálu, menší vznik okují apod. Nevýhodou jsou vysoké pořizovací náklady a zavedení chladícího systému v peci.



Obr. 1.12 – Indukční ohřev

1.7.3 Topná media používaná v ohřívacích zařízeních

K vytápění ohřívacích pecí se nejvíce používá zemní plyn, který má největší výhřevnost $32\ 000 - 40\ 000 \text{ kJ/m}^3$ a teplotou hoření $2\ 000 - 2\ 200^\circ\text{C}$. Avšak při použití plynu je teoretická spotřeba spalovacího vzduchu i teoretické množství vlhkých spalin 3 – 5x větší než u jiných plynných paliv (kokzárenský plyn, vysokopevní plyn).

Další topná média, která se již pro ohřev nepoužívají z důvodu jejich ekologické záťaze na životní prostředí, jsou např. vysokopevní plyn, kokzárenský plyn, svítiplyn nebo spalování topného oleje a uhlí.

Při elektrickém ohřevu je topným médiem elektrická energie.

1.8 Volba stroje pro záplustkové kování

Správný typ kovacího stroje se volí z technologického postupu, tvaru výkovku a velikosti série. Buchar používáme tam, kde je nutné podle tvaru výkovku provádět prodlužovací (předkovací) operace. Třetí lisy se uplatňují u malosériové výroby a při kování v otevřených i uzavřených záplustkách. Výhoda tvářecích lisů je (neplatí u klikových), že nedochází k jeho zaseknutí při velkém množství kovu v záplustce a záplustky opatřené horními a dolními vyhazovacími kolíky jsou oproti bucharům tišší. Styl kování na klikových lisech je rozdílný od kování pod bucharý a vřetenovými lisy. Vřetenové lisy a bucharý pracují rátrem a výkovek se vyrábí vždy na několik úderů bud' z předkovku nebo postupovým kováním. Mechanický kovací lis pracuje klidným tlakem a jeho zdvih při zanedbání odpružení je stále stejný. Nevýhodou při lisování klidným tlakem je, že může dojít k zalisování okuji do výkovku (okuje vznikají při ohřevu na kovací teplotu). Proto se musí okuji odstranit nebo volit bezokujový ohřev. Na klikových lisech nelze provádět takové operace, kde je zapotřebí prodlužování, a proto volíme ještě předkovací stroj. Kování na klikových lisech je vhodné pro velkosériovou výrobu hlavně v automobilovém průmyslu [4].

Velikost stroje je v případě lisů určena maximální silou a u bucharů hmotností padajících částí, nebo maximální prací (energií), kterou jsou schopny v jediném úderu

vykonat. Při stanovení velikosti stroje se v praxi používá převážně empirických vzorců, které bývají vyjádřeny také v tabulkách a nomogramech.

1.8.1 Záplastkové kování na bucharech a výpočet velikosti bucharu

Buchary se používají především pro kování velkých a těžkých výkovků nebo naopak pro kování drobnějších výkovků se žebry, výstupky a tenkostennými částmi. Stroj pracuje dynamickou rázovou silou, která se musí tlumit masivními základy. Zároveň tyto rázy působí kladně na odstraňování okuí z výkovku, nezakovávají se a zároveň se méně opotřebovávají záplastky, které tolik netrpí na otěr. Máme několik typů bucharů.

- *Padací* - pracuje vlastní vahou beranu, který z výšky padá na šabotu
- *Hydraulické* - energii přenáší kapalina např. minerální oleje
- *Parovzdušné* - ke zvedání a urychlení pádu beranu se užívá páry
- *Protiběžné* - nemají šabotu, místo ní je spodní beran

Velikost bucharu se určuje z potřebné práce při posledním úderu (odpor tvářeného materiálu proti deformaci je maximální) a z velikosti plochy průmětu výkovku do dělící roviny záplastky, včetně výronkového můstku, přičemž se bere v úvahu také tvarová složitost výkovku.

Práce pro kruhový výkovek A_k

$$A_k = 1,8 \cdot (1 - 0,0005D_v) \cdot (1,1 + \frac{20}{D_v})^2 \cdot (0,75 + 0,00001D_v^2) \cdot J \quad [J] \quad (1.3)$$

Pro nekruhový výkovek se tento vzorec upravuje korekčním součinitelem tvaru a místo D se dosadí Dred, takže potřebná práce pro nekruhový výkovek An.

$$A_n = A_k \left(1 + 0,1 \sqrt{\frac{L}{B_S}}\right) \quad [J], \quad (1.4)$$

$$D_{red} = 1,13 \sqrt{S} \quad [\text{cm}], \quad (1.5)$$

$$B_S = \frac{S}{L} \quad [\text{cm}], \quad (1.6)$$

kde: D_v – Ø výkovku [mm],

σ_p – přirozený přetvárný odpor materiálu při kovací teplotě [MPa],

S – průmět plochy výkovku v ploše kolmé ke směru rázu [mm^2],

L – délka výkovku [mm],

B_S – střední výška výkovku [mm].

Pro vypočtenou práci se určí hmotnost beranu v (Tab. 1.4). Velikost protiběžného bucharu se stanoví ze vztahu Avýkovku = Abucharu. Přiložený přetvárný odpor σ_p materiálu při kovací teplotě se určí z (Tab. 1.5). Koeficient 18 až 28 se stanoví dle stavu stroje (opravy válců zvětšují plochu pístu).

Tab. 1.4 – Určení hmotnosti beranu m [kg] [2]

Výkovek	Buchar	
	jednočinný	dvojčinný
kruhový	$m = \frac{A_K}{11}$	$m = \frac{A_K}{18-28}$
nekruhový	$m = \frac{A_n}{11}$	$m = \frac{A_n}{18-28}$

Tab. 1.5 – Hodnoty přirozeného přetvárného odporu σ_p [2]

T [°C]	Pevnost Rm [MPa] při 20°C				Ložiskový materiál
	400	600	800	1000	
Přirozený přetvárný odpor σ_p [MPa]					
1300	14	20	24	30	-
1200	18	22	36	50	-
1100	22	36	51	68	35
1000	30	54	75	109	60
900	45	75	115	159	90
800	66	111	155	230	140
700	95	150	250	330	-

1.8.2 Záplustkové kování na lisech a výpočet velikosti lisu

Kováním na svislých kovacích lisech se polotovar tváří klidovou silou, která způsobuje snadnější tváření materiálu ve směru kolmém na tuto sílu. Proto se na lisech kovají výkovky spíše členité do šířky. Každá operace má jednu dutinu záplustky. Jako první operaci volíme většinou pěchování, aby došlo k odpadnutí okují. Výhodou je možnost použití vyhazovačů.

Pro přibližné určení velikosti lisu se používá celé řady empirických vzorců (výpočet dle Storoževa, dle ČSN 22 8306, nomogram Eumuco apod.). Pro určení velikosti tvářecí sily se používá např. i vztah dle Rebelského:

$$F_{k-reb} = 8(1 - 0,001D_v).(1,1 + \frac{20}{D_v})^2 \cdot \sigma_{ps} \cdot S_v \quad [\text{N}], \quad (1.7)$$

kde: D_v – průměr výkovku [mm],

σ_{ps} – meze pevnosti materiálu pro dolní kovací teplotu [MPa],

S_v – plocha průmětu výkovku do délící roviny záplustky [mm^2],

Typy lisů:

- *Klikové* – volit indukční ohřev, má malou tvorbu okují
- *Vřetenové* – energie je v setrvačníku a celá se najednou spotřebuje
- *Hydraulické* – lze nastavit kovací sílu vyvolanou tlakem kapaliny
- *Výstředníkové* – v kovárenství se používají k ostřihování

1.8.3 Rozdíly při kování na lisech a bucharech

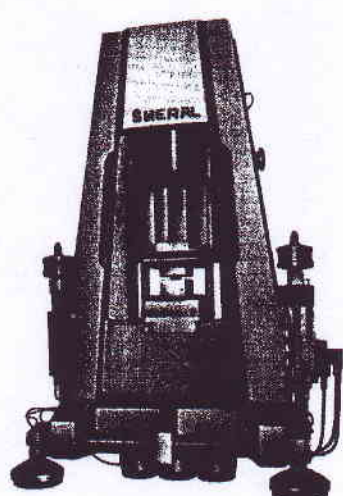
Typ tvářecího stroje se volí pro výrobu určitého rozsahu a objemu výkovku [2]. Pokud docílíme všech kritérií, tak samotná volba je jednoduchá. Problémy nastanou v případě, kdy není zaručen rozsah výkovků, požadovaný výkon stroje a jiný činitel (rozsah výrobních možností kovárny, dovednosti v určitém způsobu výroby a zdroj energie pro pohon kovacích zařízení). Dostupné stroje, které mohou zhotovovat symetrické nebo asymetrické výkovky kované za tepla v uzavřených záplastkách, je možné srovnat v následujícím přehledu[2],[10].

Pneumaticko - hydraulické buchary nahrazují deskové a řemenové buchary díky zvýšení kvality výkovků, provozní spolehlivosti a přesnosti při kovárenských pochodech. Pneumaticko – hydraulické buchar (Obr.1.13) spojují svým principem výhody protiběžných a šabotových bucharů. Možnost konstrukce bucharu i s vyhazovačem. Jmenovitá energie úderu beranu se pohybuje od 20 do 200 kJ.

Mechanické klikové lisy (Obr. 1.14) s klasickým výstředníkovým hřídelem a ojnicí, poháněným pneumatickou vícelamelovou spojkou, mají pracovní pohyb převeden na horní pohyblivou záplastku proti nepohyblivé spodní záplastce ve stojanu stroje. Kovací síla lisů se pohybuje v rozmezí od 3 do 120 MN.

Vřetenové lisy mají svislý šroub s beranem a záplastkou poháněný v obou směrech točení mechanicky, hydraulicky nebo elektricky hnaným setrvačníkem. Vřetenové lisy dosahují maximální tvářecí rychlosti v okamžiku styku výkovku a záplastky. Výkovky lze tvářet postupnou deformací jako u bucharů, zatímco klikové lisy předávají deformační energii jedním rázem. Vřetenové lisy se stavějí ve velikostech od 0,63 do 63 MN.

Hydraulické kovací lisy používají uzavřené záplastky, mohou mít měnitelnou délku zdvihu, tvářecí rychlosť a tvářecí sílu. Použitím dělené záplastky a pomocných horizontálních beranů je možné produkovat výkovky s děrovanými nákovky. Lisy se vyrábí v širokém rozmezí sil.



Obr. 1.13 – Pneumaticko – hydraulický buchar [10]



Obr. 1.14 – Svislý kovací lis [10]

Použití bucharu nebo lisu je závislé na typu a tvaru výkovku. Kruhové a prstencové výkovky běžných druhů ocelí jsou vhodné pro kování na klikových lisech. V případě, že rozměry výkovku a měrné tlaky přesahují možnosti lisu, je třeba použít bucharu. Asymetrické a tvarově složité výkovky jsou většinou vyráběny na bucharech. Dlouhé výkovky, páky, nápravy a součástky leteckého podvozku potřebují větší plochu držáku záustek, než mají lisy odpovídající síly, a proto jsou kovány na bucharech. Velké kruhové výkovky ze žárupevné oceli jsou zhotovovány na bucharech z důvodu energetických požadavků. Výkovky lopatkového tvaru s přesnými tolerancemi tvaru téměř ze všech druhů oceli a slitin se vyrábějí na vretenových lisech, zatímco velké lopatky s širšími tolerancemi jsou zhotovovány na bucharech. Výkovky ve tvaru tenkých desek s okrajovými žebry spolu s výkovky bez úkosu z hliníkových a hořčíkových slitin jsou zpravidla kovány na hydraulických lisech.

U závěrečného výběru bucharu nebo lisu je nutné vzít na vědomí podmínky životního prostředí, tvar a velikost produkce výkovků. Důležitým faktorem jsou také dosavadní znalosti. Množství výkovků ve výrobní dávce je dalším činitelem při volbě bucharu nebo lisu. Volba bucharu nebo lisu je závislá na množství výkovků ve výrobní dávce.

Pro buchary jsou větší náklady na záustky než pro lisy odpovídající velikosti. U lisů je možné použít samostatných vložek pro předtvarovací a dokončovací dutiny. U bucharů se používá násobných dutin vyžadujících velký záustkový blok s možností renovace. Lisy jsou častěji než buchary vybaveny automatickým mazáním záustek, což má příznivý vliv na životnost. Životnost lisů prodlužuje také odstranění okují. Přesnost, kvalita a toleranční odchylky výkovku se liší u lisů a bucharů jen minimálně. Pouze přesazení výkovku bývá větší u bucharů než u lisů, což je způsobeno rázovými silami.

Na bucharech jsou zhotovovány nejrůznější výkovky, kde z technologického hlediska je vhodné využití vyšších tvářecích rychlostí. Kovací lisy nejsou typy rázových strojů. U rázového stroje má beran max. údernou sílu v okamžiku, kdy se dotkne výkovku a v době, kdy dosáhne spodní polohy je tato síla spotřebována. Kovací lis s klikovým mechanismem vyvine největší sílu ve skutečné dolní úvratí.

Závěrečným porovnáním bucharu a lisu lze říci, že můžeme vyrobit výkovek určitých parametrů, kvality, tolerancí a množství. Množství bucharů nebo lisů stanovuje kovárna. Vychází z typu výkovku, odvětví průmyslu, tvaru a druhu výroby (sériovosti).

1.9 Vyhazování (vyrážení) výkovků

Konstrukce třecích a klikových lisů dovoluje použít vyhazovače ve spodním popř. horním díle záustky. Vyhazovač lisu usnadňuje vyjmání výkovků ze záustky. Vhodnou konstrukcí vyhazovače lze také zvýšit životnost záustky. Vhodný vyhazovač lze stanovit např. dle ČSN 22 8306.

1.10 Dokončování záplastkových výkovků

1.10.1 Ostřihování záplastkových výkovků

Při výrobě záplastkových výkovků v otevřených záplastkách na bucharech a lisech vzniká na výkovku výronek. Podle tvaru výkovku vzniká výronek na vnějším obvodu výkovku nebo uvnitř. K dosažení konečného tvaru výkovku je nutno výronek odstranit. Tuto operaci nazýváme ostřihováním nebo děrováním. Výronek je možné ostřihovat za tepla a za studena.

Výkovky s větším obsahem C než 0,5% se ostřihují za tepla a výkovky s menším obsahem než 0,5% C lze ostřihovat za studena. Větší a složitější výkovky se ostřihují vždy za tepla, a to z důvodu menšího tlaku při ostřihování a možnosti využití teploty pro rovnání výkovku.

K ostřihování a děrování výkovků se používá mechanických a hydraulických lisů [2].

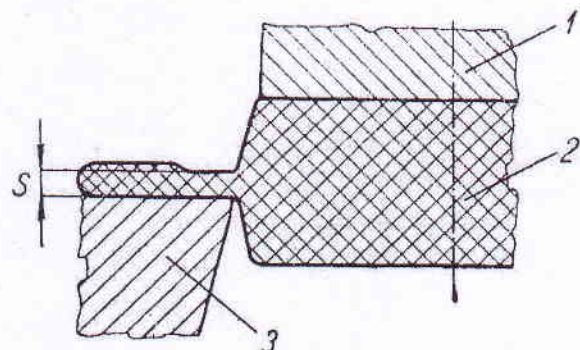
- *Určení velikosti stroje*

Podle velikosti stříhané plochy S a pevnosti materiálu ve střihu σ_p určíme sílu F potřebnou pro ostřížení výkovku. Pevnost materiálu ve střihu je 0,8 pevnosti v tahu (R_m). Jelikož jde o ostřížení výronků, kde zpravidla nedosedá razník na výkovek, ale tlací na výkovek, je síla 1,7krát větší. Z důvodu bezpečnosti bereme tloušťku výronku s dvojnásobnou (Obr. 1.15) [2].

$$F_s = 1,7 \cdot 0,8 \cdot R_m \cdot O \cdot 2h = 2,72 \cdot R_m \cdot O \cdot h \quad [\text{N}] \quad (2.7)$$

kde je: R_m je pevnost materiálu v tahu [MPa],
 O - vnější obvod výkovku v [mm],
 h - tloušťka výronkového můstku v [mm].

Ostřihovací lisy tvoří spolu s kovacím bucharem nebo lisem a ohřívací pecí kovací agregát. Podle velikosti kovacího bucharu nebo lisu se stanoví velikost a typ ostřihovacího lisu (Tab. 1.6).



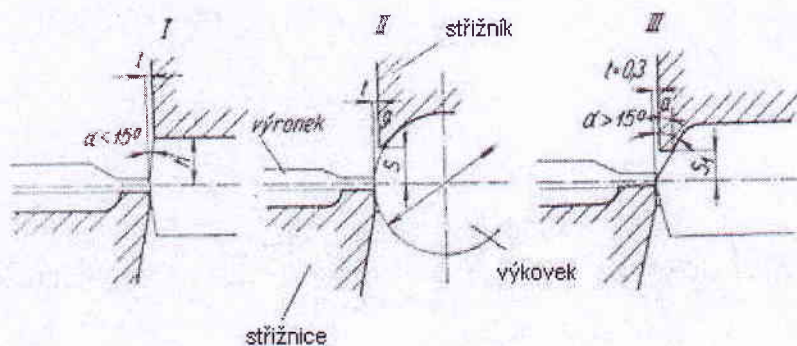
Obr. 1.15 – Schéma stříhání [3]
 1 - střížník, 2 - výkovek, 3 - střížnice

Tab. 1.6 – Výběr ostřihovacího lisu podle energosilových veličin základního tvářecího stroje

Hmotnost beranu záplastkového bucharu [t]	Síla klikového kovacího lisu [MN]	Síla ostřihovacího lisu [MN]
0,5	6,3	1
0,75	10	1,25
1	-	1,6
1,5 až 2	16	2
2,5 až 3	25	3,15
4 až 5	40	4
6	63	4 až 5
8	-	5 až 6,3
10	-	6,3 až 8
12	-	8 až 12,6
15	-	12,6 až 16

- **Konstrukce ostřihovacích nástrojů**

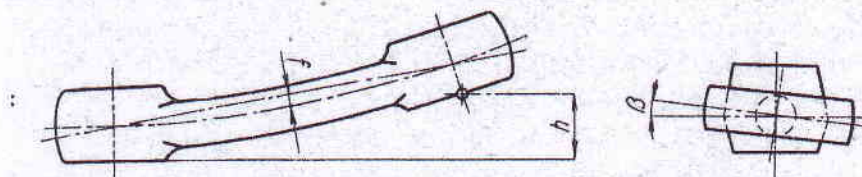
Střížnice se zhotovuje podle obrysu výkovku v dělící rovině viz. (Obr. 1.16). Střížník se dolícovává podle skutečných rozměrů a tvaru výkovku. Plochy střížníku, které nestředí výkovek, se zhotovují s určitou vůlí. Vůle mezi střížníkem a střížnicí se zhotovuje vždy na úkor střížníku a má vliv na kvalitu ostřížení výkovku. Střížnice se zhotovují z jednoho kusu nebo dělené vzhledem k snadnější výrobě a ostření[2].



Obr. 1.16 – Možnosti zhotovení průstřížníku a průstřížnice podle obrysu výkovku [2]

1.10.2 Rovnání

U některých výkovků může dojít při ostřihování výronku ke zkřivení, které se rovná za tepla i za studena. Za studena se zpravidla rovnají po tepelném zpracování a čištění. Za tepla se rovnají většinou výkovky, které se zkřiví během kování a ostřihování. Zkřivení výkovku se určuje podle křivosti os a podle úhlu zkřivení (Obr. 1.17). Za rovný výkovek se považuje takový, jehož zkřivení zůstává v rozmezí tolerancí rozměrů uvedených na výkrese výkovku.



Obr. 1.17 – Zkrivení výkovku [3]

h - křivost, 2 - průhyb,
 β - úhel zkroucení

Výkovky se rovnají:

1. Za tepla v dokončovací dutině záplustky, v níž byl výkovek vykován.
2. Na ostřihovacích lisech v rovnacích nástrojích (omezeno tlakem lisu).
3. Za studena v rovnacích záplustkách, což je nejvýkonnější způsob.

1.10.3 Kalibrace

Výkovky se kalibrují po vykování záplustkového výkovku. Je to nejlepší způsob, jak zajistit vysokou přesnost výkovků. Touto technologií je možno získat výkovek s přesnou váhou, hladkým a čistým povrchem a přesným rozměrem. Za tepla je možno kalibrovat prakticky na všech kovárenských strojích pro záplustkové kování (na klikových kovacích lisech, třecích lisech i parních bucharech pro záplustkové kování). Nejčastěji se kalibruje při jednom ohřevu záplustkového výkovku, tj. ihned po ostřížení výronku. Proto se stroj pro kalibrování výkovků (pokud se nekalibruje na stejném stroji, kde se kove záplustkový výkovek) umisťuje v těsné blízkosti ostřihovacího lisu. Přesnost kalibrovaných výkovků závisí především na přesnosti záplustkového kování před kalibrováním, na stálosti teploty, při které se kalibruje a na tuhosti tvářecího stroje. Kalibrování za studena (v některé literatuře je tato operace nazívána ražení) je přesnější než kalibrování za tepla. Dělá se zpravidla až po tepelném zpracování výkovků, které jsou vyrovnaný a zbaveny okuji.

Pro kalibrování za studena se používá zpravidla razících lisů. Na těchto lisech se v kalibrovacích záplustkách stlačují plochy, kterými se stýká vykovaná součást s jinými díly výrobku. Materiál se při kalibrování za studena zpevňuje. Proto se musí výkovky z některých druhů ocelí, zejména při vysokém stupni deformace, tepelně zpracovat[2].

1.11 Nástroje pro záplustkové kování – záplustky

1.11.1 Konstrukční řešení záplustek

Při konstrukci záplustky se nejprve řeší dokončovací dutina, potom dutiny přípravné a jejich vzájemná poloha a nakonec se určí velikost záplustkového bloku. Upínání, středění, osové zajištění atd. se řeší se zřetelem na polohu kovacích dutin. Dokončovací dutina se používá k tváření výkovku na jeho konečný tvar. Tvar dokončovací dutiny je shodný s tvarem výkovku a rozměry se liší pouze rozdílem smrštění materiálu z kovací teploty na teplotu normální[9].

Aby bylo možné výkovek ze záplustky snadno vyjímat, je třeba plochy dutiny opatřit vhodnými úkosy. Volba úkosů se řídí podle tvaru dutiny i vlastností kovu, z něhož se výkovky zhotovují a podle použitého stope (lis, buchar, kovací stroj). Má-li materiál velké smrštění, musíme dělat vnitřní úkosy větší (rovněž u předkovaných děr a vybrání). Volba úkosu má také vliv na správné zabíhání materiálu při vyplňování dutiny záplustky. Velikost úkosů je určena normou ČSN 42 9030.

Dutina záplustky nesmí mít ostré hrany, rohy a přechody, které by bránily tečení materiálu při vyplňování dutiny záplustky, a způsobovaly trhliny. Velikost zaoblení hran, přechodů a rohů se volí podle hloubky dutiny záplustky. Čím větší hloubka, tím větší se volí i poloměr zaoblení. Rovněž při kování materiálu s horší tvárností musíme poloměr zaoblení hran a přechodů přiměřeně zvětšit. Velikost poloměru zaoblení hran a přechodů je určena normou ČSN 42 9030.

U horních a spodních záplustek při kování musí být zajištěna dobrá vzájemná poloha, nemají – li být výkovky přesazené. Vedení beranu zajišťuje vzájemnou polohu záplustek pouze u nových stojů, které byly delší dobu v provozu a u nichž již došlo k opotřebení vedení beranu. Proto se vzájemná poloha záplustek zajišťuje vedením upraveným přímo v záplustkách nebo speciálním upínačem záplustek. Dalšími možnostmi je vedení prizmatické, křížové nebo válcové. Tyto druhy se uplatňují u záplustek pro těžší výkovky. Jsou trvanlivější než vedení kolíky.

Umístění dokončovací dutiny je nutné řešit tak, aby obtížné tvary jako žebra, čepy, úzké vysoké profily, kde předpokládáme nesnadné zatékání materiálu, byly umístěny ve vrchní záplustce. Kolem dutiny je vytvořena výronková drážka určená pro vytvoření výronku (popsáno v kapitole 1.3.).

U některých záplustek děláme tzv. můstky. Jsou – li úzké, usnadňují tečení materiálu, jsou – li širší, brzdí tečení do výronku a podporují vyplnění dutiny formy. Čím hlubší je dutina záplustky, tím širší je můstek.

Pokud jsou záplustky s hlubokou dutinou, tak je nutné vyvrtat v nejhlubším místě malé díry o průměru 3 – 5 mm. Jejich hloubka by měla být dostatečně velká, aby vzniklý otvor pojmul vzduch vytlačený výkovkem z dutiny formy a nezabraňoval vyplnění dutiny záplustky kovem. V případě neopatření těmito dírami by mohl stlačený vzduch vyrazit ještě nedokovaný výkovek z dutiny. Pokud materiál formu dobře vyplňuje, tak tyto díry neaplikujeme, z důvodu zeslabení formy.

Ze záplustek s hlubokou dírou se špatně vyjímají výkovky. V takových případech musíme záplustku opatřit vyhazovači (popsáno v kapitole 1.9), které usnadní vyjímání. U větších záplustkových bloků je třeba pamatovat i na manipulační otvory.

1.11.2 Materiál záplustek – požadavky (nároky)

Záplustky jsou při kování vystaveny velkému namáhání rázy nebo tlakem, značnému opotřebení otěrem na stykových plochách mezi výkovkem a záplustkou a velkým a náhlým změnám teploty. Kolísání teploty rychlým střídáním ohřevu a ochlazování při styku záplustky s výkovkem a nutném chlazení mazáním způsobuje střídavé roztahování a smrštěvání v povrchové vrstvě, které vede k střídavému plastickému přetvoření. Tím je vyvoláno značné vnitřní pnutí, kterým po jisté době dochází ke vzniku povrchových trhlinek.

Mimo změn teploty je záplastka vystavena po celou dobu provozu dosti vysoké teplotě, což má vliv na původní pevnost záplastky. S rostoucí teplotou pevnost klesá. Tím dochází v místech vystavených vyšším teplotám k strukturním změnám provázeným změnami objemu, což vede ke vzniku vnitřních pnutí. Pokud pnutí dosáhne vysokých hodnot, dojde ke vzniku trhlin. Také rozpad zbytkového austenitu vyvolává vnitřní pnutí (v tomto případě opět zvětšením objemu).

Z těchto důvodů musí mít materiál zvolený pro záplastku velkou houževnatost při poměrně vysoké tvrdosti, musí si zachovávat dosti vysokou pevnost i při vyšších teplotách, musí dobře vzdorovat opotřebení otěrem a nesmí být náchylný k tvoření trhlin při střídavém ohřevu a ochlazování, tj. musí mít dostatečnou odolnost proti tepelné únavě. Záplastky jsou obvykle velké, a proto musí mít ocel i velkou prokalitelnost[4].

Z toho vyplývá, že nás u materiálu pro záplastky zajímají jako hlavní vlastnosti kalitelnost, prokalitelnost, závislost tvrdosti na teplotě popouštění, odolnost proti tepelné únavě a jako vlastnosti méně důležité tepelná vodivost v rozsahu teplot tepelného zpracování, měrná hmotnost, měrné teplo, tepelná roztažnost a houževnatost při různých teplotách. Z technologických vlastností nás pak zajímají údaje potřebné pro kování a tepelné zpracování.

Popsané požadavky (nároky) jsou tak velké, že je zřejmé, že pro záplastky nemůžeme použít uhlíkové oceli (krátká životnost) a musíme volit ocel slitinovou, vhodně legovanou. Záplastky pracují za nejrůznějších podmínek, nejsou stejně mechanicky a tepelně namáhány (záplastky na bucharu trpí více rázy, na lisu více teplem) a nemůžeme tedy vystačit s jedním druhem slitinové oceli s různými vlastnostmi.

Pro zvolení vhodné oceli musíme znát vlastnosti ocelí určených pro výrobu záplastek. Nutností je uvážit, zda je tvar dutiny záplastky jednoduchý nebo složitý, zda bude záplastka vystavena převážně namáhání mechanickému nebo tepelnému, zda bude vystavena rázům nebo klidnému tlaku. Dále musíme uvážit velikost záplastky, velikost výroby. Rovněž musíme přihlédnout k možnostem tepelného zpracování záplastky.

1.11.3 Předehřev záplastek

Záplastky je nutné předehřívat na teplotu 200 až 300°C, jinak by mohlo dojít k jejich praskání. Nutné je předehřívat před započetím práce, v přestávkách nebo při výměně směn. Předehřev snižuje pnutí mezi povrchem nástroje a jeho dutinou. Při styku výkovku se záplastkou dochází ke zmenšení přestupu tepla a tím se zpomaluje ochlazení výkovku. Předehřívá se pomocí indukčního ohřevu nebo věncovitých plynových hořáků.

1.11.4 Mazání záplastek

Záplastky mažeme z důvodu snížení tření v průběhu kování mezi záplastkou a tvářeným materiélem. Výkovky se lépe uvolňují z dutiny záplastky a životnost záplastky se zvyšuje díky nižšímu otěru. Mazivo se nesmí rozkládat vlivem provozních teplot a tlaků. Dnešní používaná maziva na záplastky jsou na principu grafitu smíchaného s vodou.

1.12 Simulace

Pomocí simulace lze studovat celý průběh technologické tvářecí operace. Podle základních vstupních geometrických, konstrukčních a technologických parametrů se vytvoří model, pro který se pak provádí výpočet pomocí MKP (metoda konečných prvků). Z výsledků simulace je pak možné usuzovat na celkový průběh tvářecího procesu, na způsob a směr tečení materiálu, rozložení tlaků v dutině nástroje a tím i zjištění velikosti namáhání nástroje, na rozložení teploty v součásti, na rychlosť tečení materiálu v různých směrech aj.

Při simulaci je možné sledovat průběh z hlediska toku materiálu, optimální teploty, druhu materiálu, technologického maziva. Můžeme také předvídat vznik případných přeložek nebo trhlin. Je možné měnit vstupní parametry, lze provádět úpravy geometrie nástroje (poloměry, úkosy atd.), nebo technologických podmínek (např. druh maziva) podle potřeby. Tím lze výhodně nahradit praktické zkoušky, které dříve bylo nutno provádět a tím vzniká úspora finanční i časová.

Protože je možné počítačovou simulací ověřit průběh celé technologické operace, je možné celou technologii směřovat k tomu, aby celá technologická operace probíhala v takových podmínkách, aby bylo možné použít např. menších přídavků na opracování i menších technologických přídavků. Tím je možné ušetřit tvářený materiál i zajistit výrobu přesnějších součástí. Při optimálním tečení materiálu se zvyšuje životnost tvářecích nástrojů.

2 SOUČASNÝ STAV ŘEŠENÍ

Zadanou součástí č.v.: DP2012 – 01 (Příloha č.1) je pastorek s přímými zuby do převodového ústrojí žacího stroje 324A. Modul pastorku je 2 a počet zubů 68. Jakost materiálu pastorku je dle výkresu 14220. Dále je na ozubení prováděna cementace do hloubky $0,5 - 0,7$ mm a následné kalení ozubení na stupeň tvrdosti HRC 58 ± 4 .

Tuto součást lze vyrábět jednak třískovým obráběním z kovaného nebo válcovaného tyčového materiálu, zápustkovým kováním, odléváním nebo i částečným svařováním. Nevýhodou obrábění je porušení struktury vláken, velké materiálové náklady a spotřeba času při výrobě. Výhodou zápustkového kování je příznivý průběh vláken a tím i vliv na mechanické vlastnosti, vhodnost pro výrobu velkých sérií nebo hromadnou výrobu. Odlévání není pro daný počet kusů, velikost a tvar polotovaru vhodné. Nevýhodou svařování je nutnost předchozího obrábění ploch svaru u náboje, věnce a disku. Další nevýhodou je požadavek na odstranění pnutí, které vzniklo svařováním. Pro technicko – ekonomické zhodnocení bude porovnání mezi zápustkovým kováním a výrobou z tyčového materiálu. Ostatní výše navrhnuté technologie nejsou pro tuto výrobu polotovaru ozubeného kola vhodné. Následující možné technologie tváření – kování jsou:

2.1 Kování na bucharech

Buchary jsou vhodné především pro kování drobných výkovků nebo naopak značně hmotných výkovků, pro kování výkovků se značnými změnami průřezu, pro výkovky se žebry, výstupky a slabostěnnými částmi, které vyžadují značný tlak. Stoupavost materiálů je u bucharů lepší než u lisů. Přitom složitější a vyšší části výkovku dáváme do horní poloviny zápustky. Při kování na bucharu se rovněž snadněji odstraňuje okuji z polotovaru počátečním napěchováním.

Technologický postup kování na bucharech se skládá z několika operací (překování, kování, ostřízení výronku (blány), kalibrování).

Kování v jednodutinových zápustkách u bucharu se provádí pro jednoduché rotační výkovky, pro výkovky těžké nebo rozměrné, které není možné vyrábět postupově, pro malé série výkovků u nichž by byla postupová zápustka velmi drahá, pro výkovky přetvářené jiným způsobem (na kovacích válcích apod.).

2.2 Kování na klikových kovacích lisech

Technologie kování na klikových lisech je odlišná od kování na bucharech. U bucharů se obvykle provádí vykování součásti na několik zdvihů s následným přenesením do další dutiny. Klikové lisy jsou tudíž vhodné pro pěchovací a vytlačovací operace. Tváří se na jeden zdvih v každé operaci a dochází při tom k intenzivnímu radiálnímu tečení materiálu. Konstrukce lisů dovoluje použít vyhazovače, takže výkovky mají menší úkosy.

Nevýhodou kování na klikových lisech je zakování okuji do povrchu výkovku, případně do zápustkového bloku. Proto volíme první operaci pěchování, kde dojde k odstranění okuji.

2.3 Kování na vřetenových lisech

Vřetenové lisy tvoří jakýsi přechod mezi buchary a klikovými lisy. Podle charakteru kování je zařazujeme do stejné skupiny strojů jako buchary. Při dopadu dosahují velkého tlaku rázem.

Vřetenové lisy jsou popsány maximální silou. Stejně důležitým údajem je velikost rázové práce. Tato práce je úměrná hmotnosti setrvačníku. To znamená, že rázovou práci můžeme snadno zvětšit, ale i zmenšit změnou počtu otáček. Zápustkové kování na vřetenových lisech vyžaduje značnou náročnost i opatrnost, aby nedošlo k přetížení lisu nebo jeho zničení.

2.4 Vyhodnocení současného stavu

Výrobu polotovaru uvažuji jako zápustkový výkovek na klikovém kovacím lise. Je brán ohled na tvar, rozměr, materiál součásti a požadované pevnostní hodnoty na konečný výrobek pastorku. Výhodnost zvolené technologie je ověřena v kapitole technicko – ekonomického zhodnocení.

3 NÁVRH POSTUPU VÝROBY POLOTOVARU PASTORKU TVÁŘENÍM ZA TEPLA – ZÁPUSTKOVÝM KOVÁNÍM

Při řešení výroby záplustky pro objemové tváření za tepla zvažujeme technologický postup kování. Do tohoto postupu patří stanovení přídavků a návrh výkresu výkovku, návrh výchozího polotovaru, způsob dělení a ohřevu materiálu, stanovení velikosti kovací síly, volba výrobního zařízení, konečné zpracování výkovku, sériovost (160tis. ks.).

Konstrukce záplustky je ovlivněna velikostí a tvarem záplustky, velikostí výkovku, materiélem výkovku, způsobem namáhání záplustky, požadovanou pevností záplustky, požadovaným počtem výkovků a dalšími parametry. Z hlediska konstrukce záplustky je nejdůležitější vlastní proces kování. Při návrhu technologického postupu a při konstrukci záplustky se vychází z výkresu výkovku.

3.1 Volba přídavků a návrh výkresu výkovku

Dle výkresu součásti PASTOREK d140, (č.v.: DP2012 – 01), (Příloha č.1) je zpracován výkres záplustkového výkovku bez předkování díry VÝKOVEK d150,5 .1, (č.v.: DP2012 – 02), (Příloha č.2) a výkres záplustkového výkovku s předkováním díry VÝKOVEK d150,5 .2, (č.v.: DP2012 – 09, (příloha č.9). Přídavky na obrábění a technologické přídavky (zaoblení hran a přechodů, úkosy, tloušťky stěn) jsou voleny dle normy ČSN 42 9030. Přesnost provedení výkovku ČSN 42 9030.1 – obvyklé provedení.

3.1.1 Přídavky na obrábění

Největší průměr pastorku je 140 mm – rozsah (100 - 160), největší výška kola je 48 mm – rozsah (40 - 63). Přídavek na obrábění dle normy ČSN 42 9030.1 je 2,5 mm.

3.1.2 Technologické přídavky

Náboj součásti má otvor s drážkou pro pero o průměru 28 mm. Otvor bude řešen bez předkování. Z důvodu porovnání kovací síly bude proveden i výpočet s předkováním díry. Dále je vnější část náboje jednostranně osazena pro uchycení při následném obrábění.

- Poloměry zaoblení r a poloměry přechodů R jsou dle ČSN 42 9030 a výkresu součásti pastorku, (č.v.: DP2012 – 01), (Příloha č.1) voleny takto:

$$\begin{array}{ll} \text{poloměr zaoblení hrany} & r = 5 \text{ mm} \\ \text{poloměr zaoblení přechodu} & R = 6 \text{ mm} \end{array}$$

- Úkosy záplustkového výkovku jsou voleny jednak s přihlédnutím na výkres součásti PASTOREK d140, (č.v.: DP2012 – 01) a podle normy ČSN 42 9030.

$$\begin{array}{l} \text{vnější úkosy } 7^\circ \\ \text{vnitřní úkosy } 7^\circ \text{ a } 12^\circ \end{array}$$

- Výpočet nejmenší tloušťky blány

$$t = 0,45\sqrt{D - 0,25h - 5} + 0,6\sqrt{h} = 0,45\sqrt{24 - 0,25 \cdot 26,5 - 5} + 0,6\sqrt{26,5} = 4,67 \text{ mm}$$

Minimální tloušťku blány volím 5 mm.

3.2. Informativní výpočet tvářecí síly dle ČSN 22 8306

Pro stanovení velikosti tvářecího stroje je potřeba znát velikost tvářecí síly. Před výpočtem této síly je nutné stanovit rozměry můstku, které se volí s ohledem na rozměry, složitost výkovku a jeho hmotnost. V úvahu musíme brát i pružení a vůle použitého tvářecího stroje.

3.2.1 Průměr výkovku bez výronku - D_v

Průměr výkovku D_v bez výronku je dle výkresu VÝKOVEK d150,5 .1 a .2, (č.v.: DP2012 – 02), (Příloha č.2) a (č.v.:DP2012 – 09), (Příloha č.9) $D_v = 150,5 \text{ mm}$

3.2.2 Průmět plochy výkovku bez výronku - S_v

$$S_v = \frac{\pi \cdot D_v^2}{4} = \frac{\pi \cdot 150,5^2}{4} = 17780,4 \text{ mm}^2 = \underline{177,804 \text{ cm}^2} \quad (3.1)$$

3.2.3 Tvar a rozměry zvolené výronkové drážky dle ČSN 22 8306 (Obr. 3.1)

- Stanovení výšky výronkového můstku – h

$$h = \alpha \cdot D_v \quad (3.2)$$

$$h = 0,015 \cdot D_v = 0,015 \cdot 150,5 = 2,26 \equiv \underline{2,5 \text{ mm}}$$

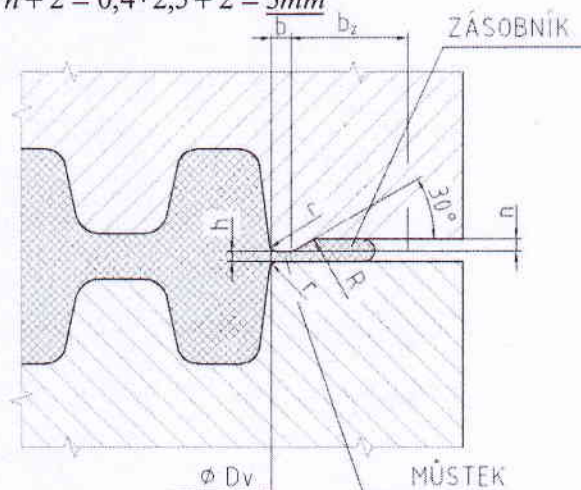
- Stanovení šířky výronkového můstku – b

poměr šířky můstku k jeho výšce volím $\frac{b}{h} = 2$

$$b = 2 \cdot h = 2 \cdot 2,5 = \underline{5 \text{ mm}} \quad (3.3)$$

- Stanovení hloubky zásobníku - n

$$n = 0,4 \cdot h + 2 = 0,4 \cdot 2,5 + 2 = \underline{3 \text{ mm}} \quad (3.4)$$



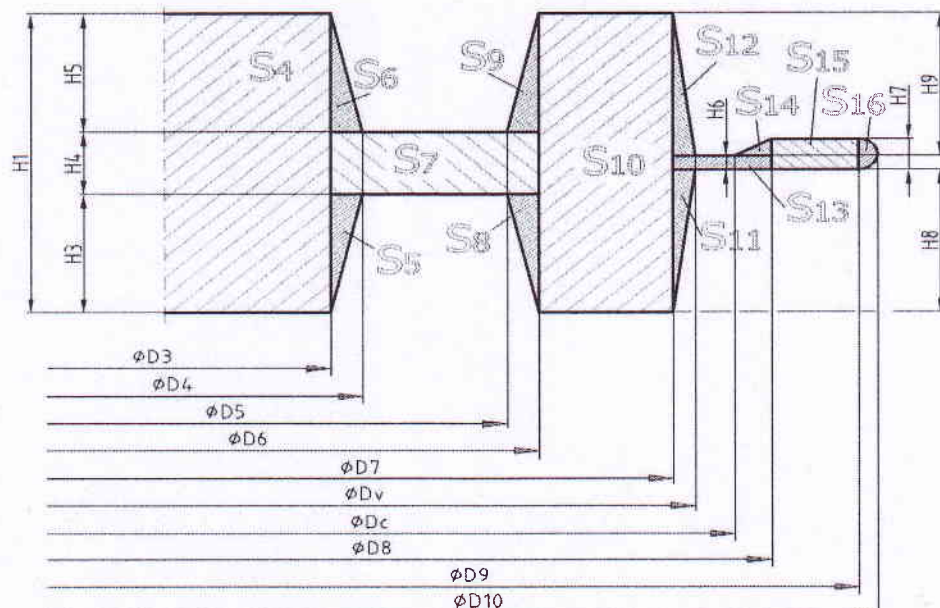
Obr. 3.1 – Tvar výronkové drážky

- Stanovení šířky zásobníku - b_z
šířku výronkového zásobníku b_z volím dle normy 32mm a uvažuji její zaplnění do 2/3
- Výkres neostříženého výkovku
Dle zpracovaných výkresů VÝKOVEK d150,5 .1, (č.v.: DP2012 – 02), (Příloha č.2), VÝKOVEK d150,5 .2, (č.v.: DP2012 – 09), (Příloha č.9) a stanovených rozměrů výronkové drážky, byly zpracovány výkresy NEOSTŘÍŽENÝ VÝKOVEK .1, (č.v.: DP2012 – 03), (Příloha č.3), NEOSTŘÍŽENÝ VÝKOVEK .2, (č.v.: DP2012 – 10), (Příloha č10) pro kovací operaci s teplotou 1000°C. Smrštění výkovku stanoveno na 1% podle normy ČSN 22 8306.

3.2.4 Výpočet hmotnosti neostříženého výkovku

- Rozměry neostříženého výkovku dle (Obr. 3.2) a (Obr. 3.3):

$$\begin{array}{ll}
 H1 = 53,8 \text{ mm} & D1 = 18,7 \text{ mm} \\
 H2 = 5,1 \text{ mm} & D2 = 24,3 \text{ mm} \\
 H3 = 21,3 \text{ mm} & D3 = 47,5 \text{ mm} \\
 H4 = 11,2 \text{ mm} & D4 = 56,6 \text{ mm} \\
 H5 = 21,3 \text{ mm} & D5 = 98 \text{ mm} \\
 H6 = 2,5 \text{ mm} & D6 = 107,1 \text{ mm} \\
 H7 = 5,5 \text{ mm} & D7 = 145,5 \text{ mm} \\
 H8 = 25,65 \text{ mm} & D8 = 173,5 \text{ mm} \\
 H9 = 25,65 \text{ mm} & D9 = 198,6 \text{ mm} \\
 & D10 = 204 \text{ mm} \\
 & D_v = 152,1 \text{ mm} \\
 & D_c = 162 \text{ mm}
 \end{array}$$



Obr. 3.2 – Rozměry neostříženého výkovku bez předkování díry

- Výpočet dílčích ploch průřezu neostříženého výkovku bez překování díry:

$$S_4 = \frac{D3}{2} \cdot H1 = \frac{47,5}{2} \cdot 53,8 = \underline{1277,8 \text{ mm}^2}$$

$$S_5 = \frac{(D4 - D3) \cdot H3}{4} = \frac{(56,6 - 47,5) \cdot 21,3}{4} = \underline{48,5 \text{ mm}^2}$$

$$S_6 = \frac{(D4 - D3) \cdot H5}{4} = \frac{(56,6 - 47,5) \cdot 21,3}{4} = \underline{48,5 \text{ mm}^2}$$

$$S_7 = \frac{(D6 - D3) \cdot H4}{2} = \frac{(107,1 - 47,5) \cdot 11,2}{2} = \underline{333,8 \text{ mm}^2}$$

$$S_8 = \frac{(D6 - D5) \cdot H3}{4} = \frac{(107,1 - 98) \cdot 21,3}{4} = \underline{48,5 \text{ mm}^2}$$

$$S_9 = \frac{(D6 - D5) \cdot H5}{4} = \frac{(107,1 - 98) \cdot 21,3}{4} = \underline{48,5 \text{ mm}^2}$$

$$S_{10} = \frac{(D7 - D6) \cdot H1}{2} = \frac{(145,5 - 107,1) \cdot 53,8}{2} = \underline{1033 \text{ mm}^2}$$

$$S_{11} = \frac{(Dv - D7) \cdot H8}{4} = \frac{(152,1 - 145,5) \cdot 25,65}{4} = \underline{42,3 \text{ mm}^2}$$

$$S_{12} = \frac{(Dv - D7) \cdot H9}{4} = \frac{(152,1 - 145,5) \cdot 25,65}{4} = \underline{42,3 \text{ mm}^2}$$

$$S_{13} = \frac{(D8 - D7) \cdot H6}{2} = \frac{(173,5 - 145,5) \cdot 2,5}{2} = \underline{35 \text{ mm}^2}$$

$$S_{14} = \frac{(D8 - Dc) \cdot (H7 - H6)}{4} = \frac{(173,5 - 162) \cdot (5,5 - 2,5)}{4} = \underline{8,6 \text{ mm}^2}$$

$$S_{15} = \frac{(D9 - D8) \cdot H7}{2} = \frac{(198,6 - 173,5,1) \cdot 5,5}{2} = \underline{69 \text{ mm}^2}$$

$$S_{16} = \frac{\pi \cdot H7^2}{8} = \frac{\pi \cdot 5,5^2}{8} = \underline{11,9 \text{ mm}^2}$$

$$S_{\max} = \sum_{i=1}^{n=13} S_i = \underline{3048 \text{ mm}^2}$$

- Výpočet vzdáleností těžišť dílčích ploch průřezu výkovku bez překování díry od osy rotace:

$$T_4 = \frac{D3}{4} = \frac{47,5}{4} = \underline{\underline{11,9\text{mm}}}$$

$$T_5 = \frac{D3}{2} + \frac{D4 - D3}{6} = \frac{47,5}{2} + \frac{56,6 - 47,5}{6} = \underline{\underline{25,3\text{mm}}}$$

$$T_6 = T_5 = \underline{\underline{25,3\text{mm}}}$$

$$T_7 = \frac{D3}{2} + \frac{D6 - D3}{4} = \frac{47,5}{2} + \frac{107,1 - 47,5}{4} = \underline{\underline{38,7\text{mm}}}$$

$$T_8 = \frac{D6}{2} - \frac{D6 - D5}{6} = \frac{107,1}{2} - \frac{107,1 - 98}{6} = \underline{\underline{52,1\text{mm}}}$$

$$T_9 = T_8 = \underline{\underline{52,1\text{mm}}}$$

$$T_{10} = \frac{D6}{2} + \frac{D7 - D6}{4} = \frac{107,1}{2} + \frac{145,5 - 107,1}{4} = \underline{\underline{63,2\text{mm}}}$$

$$T_{11} = \frac{D7}{2} + \frac{Dv - D7}{6} = \frac{145,5}{2} + \frac{152,1 - 145,5}{6} = \underline{\underline{73,9\text{mm}}}$$

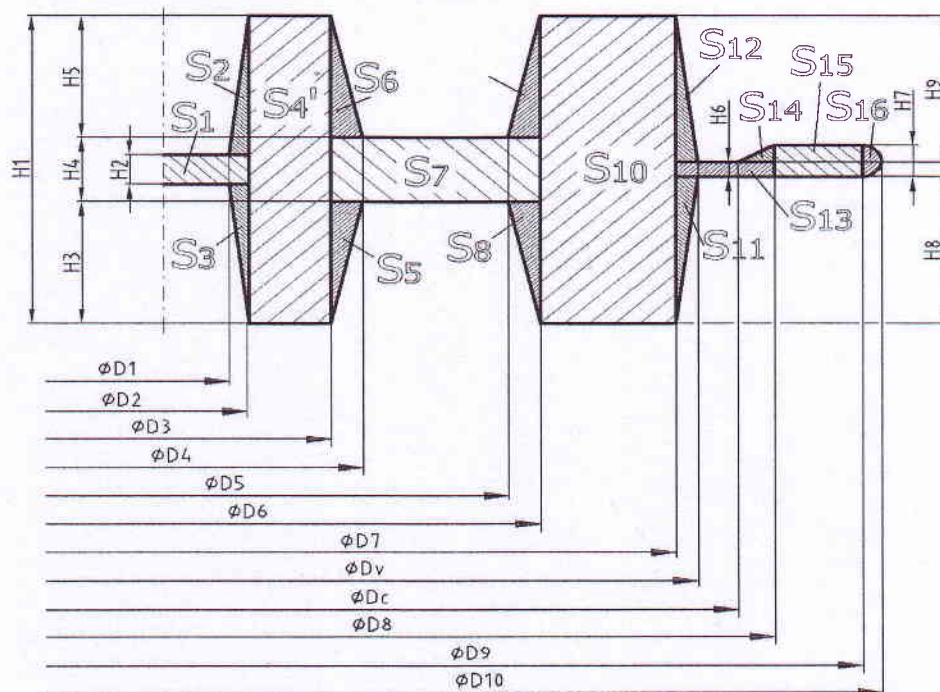
$$T_{12} = T_{11} = \underline{\underline{73,9\text{mm}}}$$

$$T_{13} = \frac{D7}{2} + \frac{D8 - D7}{4} = \frac{145,5}{2} + \frac{173,5 - 145,5}{4} = \underline{\underline{79,8\text{mm}}}$$

$$T_{14} = \frac{D8}{2} - \frac{D8 - Dc}{6} = \frac{173,5}{2} - \frac{173,5 - 162}{6} = \underline{\underline{84,8\text{mm}}}$$

$$T_{15} = \frac{D9}{2} - \frac{D9 - D8}{4} = \frac{198,6}{2} - \frac{198,6 - 173,5}{4} = \underline{\underline{93\text{mm}}}$$

$$T_{16} = \frac{D9}{2} + \frac{2 \cdot H7}{3 \cdot \pi} = \frac{198,6}{2} + \frac{2 \cdot 5,5}{3 \cdot \pi} = \underline{\underline{100,5\text{mm}}}$$



Obr. 3.3 – Rozměry neostříženého výkovku s předkováním díry

- Výpočet dílčích ploch průřezu neostříženého výkovku s předkováním díry (S_5 až S_{16} jsou stejné) :

$$S_1 = \frac{D_2}{2} \cdot H_2 = \frac{24,3}{2} \cdot 5,1 = \underline{62mm^2}$$

$$S_2 = \frac{(D_2 - D_1) \cdot H_5}{4} = \frac{(24,3 - 18,7) \cdot 21,3}{4} = \underline{29,8mm^2}$$

$$S_3 = \frac{(D_2 - D_1) \cdot H_3}{4} = \frac{(24,3 - 18,7) \cdot 21,3}{4} = \underline{29,8mm^2}$$

$$S_4' = \frac{(D_3 - D_2) \cdot H_1}{4} = \frac{(47,5 - 24,3) \cdot 53,8}{4} = \underline{624,1mm^2}$$

$$S_{\max}' = \sum_{i=1}^{n=16} S_i = \underline{2516mm^2}$$

- Výpočet vzdáleností těžišť dílčích ploch průřezu výkovku bez předkování díry od osy rotace (T_5 až T_{16} jsou stejné) :

$$T_1 = \frac{D_2}{4} = \frac{24,3}{4} = \underline{6,1mm}$$

$$T_2 = \frac{D_2}{2} - \frac{D_2 - D_1}{6} = \frac{24,3}{2} + \frac{24,3 - 18,7}{6} = \underline{11,2mm}$$

$$T_3 = T_4 = \underline{11,2\text{mm}}$$

$$T_4' = \frac{D2}{2} + \frac{D3 - D2}{4} = \frac{24,5}{2} + \frac{47,5 - 24,3}{4} = \underline{18\text{mm}}$$

- Výpočet vzdálenosti těžiště plochy průřezu výkovku od osy rotace:

$$T_c \cdot S_{\max} = \sum_{i=1}^{n=13} T_i \cdot S_i \quad (3.5)$$

- bez předkování díry:

$$T_c = \frac{\sum_{i=1}^{n=13} T_i \cdot S_i}{S_{\max}} = \frac{118283,9}{3048} = \underline{38,81\text{mm}}$$

- s předkováním díry:

$$T_c' = \frac{\sum_{i=1}^{n=13} T_i \cdot S_i}{S_{\max}} = \frac{115348,1}{2516} = \underline{45,84\text{mm}}$$

- Hmotnost neostříženého výkovku:

- bez předkování díry

$$m_{výk} = \rho \cdot V = \rho \cdot 2 \cdot \pi \cdot T_c \cdot S_c = 7,85 \cdot 10^{-6} \cdot 2 \cdot \pi \cdot 38,81 \cdot 3048 = \underline{5,83\text{kg}}$$

- s předkováním díry

$$m_{výk}' = \rho \cdot V = \rho \cdot 2 \cdot \pi \cdot T_c' \cdot S_c' = 7,85 \cdot 10^{-6} \cdot 2 \cdot \pi \cdot 45,84 \cdot 2516 = \underline{5,68\text{kg}}$$

Ověření výpočtu hmotnosti bylo provedeno pomocí 3D-softwaru Autodesk Inventor:

$$m_{výk} = \underline{5,85\text{kg}}$$

$$m_{výk}' = \underline{5,73\text{kg}}$$

3.2.5 Výpočet hmotnosti polotovaru

(uvažován ohřev v indukční ohříváčce – opal 1%)

- bez předkování díry

$$m_{poloto\ var\ u} = m_{výk} \cdot 1,01 = 5,83 \cdot 1,01 = \underline{5,9\text{kg}} \quad (3.6)$$

- s předkováním díry

$$m_{poloto\ var\ u}' = m_{výk}' \cdot 1,01 = 5,68 \cdot 1,01 = \underline{5,7\text{kg}}$$

3.2.6 Návrh výchozího polotovaru

$$m_{poloto\ var\ u} = 5,9\text{kg}$$

$$m_{poloto\ var\ u}' = 5,7\text{kg}$$

$n' = \text{volím } 1,5$ (štíhlostní poměr)

$$d_{poloto\ var\ u} = \sqrt[3]{\frac{m_{poloto\ var\ u}}{\rho \cdot n}} = \sqrt[3]{\frac{5,9}{7,85 \cdot 1,5}} = 0,79\text{dm} = \underline{79\text{mm}} \quad (3.7)$$

$$d_{poloto\ var\ u}' = \sqrt[3]{\frac{m_{poloto\ var\ u}'}{\rho \cdot n}} = \sqrt[3]{\frac{5,7}{7,85 \cdot 1,5}} = 0,78\text{dm} = \underline{78\text{mm}}$$

Jako polotovar pro záplustkový výkovek bez předkování díry volím válcovanou tyč ø 80 dle ČSN 42 5510.21 (s povrchem pro tváření – kování). Jakost materiálu 14 220.0; rozměry polotovaru pro 1 kus → ø 80 x 150 + 1. Štíhlostní poměr l/d polotovaru je 1,88. Délka 150mm bude dělena z dodaných tyčí na pásové pile s automatickým podáváním. Kontrola hmotnosti a jakosti průřezu bude po 20 kusech.

Polotovar pro výkovek s předkováním díry ø 80 x 145 + 1

3.2.7 Kontrola volby výšky výronkového můstku

Dle nomogramu volby výšky výronkového můstku (ČSN 22 8306) a již stanovených parametrů průměru ostříženého výkovku $D_v = 150,5\text{ mm}$ a hmotnosti polotovaru mpolotovaru = 5,9kg je výška můstku $h = 2,5\text{mm}$.

3.2.8 Tvářecí síla – informativní stanovení dle ČSN 22 8306

- Základní přetvárný odpor σ_p pro materiál 14 220 při teplotě 1100°C.
 $\sigma_p = 106\text{ MPa}$

- Průmět plochy výkovku s můstkem Sc do dělící roviny

$$D_c = 162\text{mm}$$

$$S_c = \frac{\pi \cdot D_c^2}{4} = \frac{\pi \cdot 162^2}{4} = \underline{20602\text{mm}^2} \quad (3.8)$$

- Stupeň tvarové složitosti výkovku III – součást s vysokým stupněm členitosti

Dle nomogramu informativního stanovení tvářecí síly ČSN 22 8306 a parametrů σ_p , Sc a stupně tvarové složitosti výkovku III vychází tvářecí síla $F_k = 13,5\text{MN}$.

3.2.9 Tvářecí síla – výpočet dle Rebeljski - Brjuchanov

- Průmět plochy výkovku S_v do dělící roviny

$$D_v = 152,1\text{mm}$$

$$S_v = \frac{\pi \cdot D_v^2}{4} = \frac{\pi \cdot 152,1^2}{4} = 18161 \text{ mm}^2 \quad (3.9)$$

- Pevnost oceli 14220 při teplotě 1100°C dle diagramu závislosti pevnosti oceli na teplotě Rebeljski – Brjuchanov (Příloha č.16)
 $\sigma_{ps}=65 \text{ MPa}$

$$F_{k-reb} = 8 \cdot (1 - 0,001 \cdot D_v) \cdot \left(1,1 + \frac{20}{D_v}\right)^2 \cdot \sigma_{ps} \cdot S_v \quad (3.10)$$

$$F_{k-reb} = 8 \cdot (1 - 0,001 \cdot 152,1) \cdot \left(1,1 + \frac{20}{152,1}\right)^2 \cdot 65 \cdot 18161 =$$

$$= 9860967 \text{ N} = \underline{\underline{9,86 \text{ MN}}}$$

3.2.10 Tvářecí síla – výpočet dle Storoževa

- Šířka můstku výronku
 $b = 5 \text{ mm}$

- Výška výronkového můstku
 $h = 2,5 \text{ mm}$

- Průměr plochy výkovku Sv do dělící roviny + průměr výkovku Dv
 $D_v = 152,1 \text{ mm}$
 $S_v = 18161 \text{ mm}^2$

- Plocha výronku v šířce můstku Sm
 $D_c = 162 \text{ mm}$

$$S_m = \frac{\pi}{4} \cdot (D_c^2 - D_v^2) = \frac{\pi}{4} \cdot (162^2 - 152,1^2) = 2441 \text{ mm}^2 \quad (3.11)$$

- Přirozený přetvárný odpor pro materiál 14220 při teplotě 1100°C
 $\sigma_p=106 \text{ MPa}$

$$F_s = \sigma_p \cdot \left[\left(1,5 + \frac{1}{2} \cdot \frac{b}{h} \right) \cdot S_m + \left(1,5 + \frac{b}{h} + 0,08 \cdot \frac{D_v}{h} \right) \cdot S_v \right] \quad (3.12)$$

$$F_s = 106 \cdot \left[\left(1,5 + \frac{1}{2} \cdot \frac{5}{2,5} \right) \cdot 2441 + \left(1,5 + \frac{5}{2,5} + 0,08 \cdot \frac{152,1}{2,5} \right) \cdot 18161 \right] =$$

$$= 16754277 \text{ N} = \underline{\underline{16,8 \text{ MN}}}$$

3.2.11 Tvářecí síla – dle nomogramu Eumuco

Pro výpočet tvářecí síly uvažuje nomogram Eumuco (Příloha č.17) plochu průmětu do dělící roviny s plochou můstku výronku. Nomogram počítá s měkčí i tvrdší uhlíkovou ocelí a s plochým tvarem výkovku nebo s tvarem s vysokými výstupky.

- Pevnost oceli 14220 za studena $R_m = \text{min. } 785 \text{ MPa}$
- Tvar I – výkovek bez vysokých výstupků

dle nomogramu vychází tvářecí síla $F_e = \underline{14 \text{ MN}}$

3.3 Teoretický výpočet tvářecí síly dle ČSN 22 8306

Při objemovém tváření za tepla je dutina záplastky v poslední fázi zdvihu lisu zaplňována materiélem a nastává zvýšení odporu proti tečení v oblasti výronkové drážky, kterou vytéká přebytečný materiál. Růst normálních napětí na povrchu výkovku je způsoben snížením plasticity tvářeného materiálu v oblasti výronku, kde vlivem malé výšky výronku ve srovnání s výškou výkovku dochází k poklesu teploty.

3.3.1 Napětí v jednotlivých bodech průřezu výkovku (Obr. 3.4)

- pevnost materiálu dle ČSN 22 8306 za kovací teploty 1100°C
je $\sigma_{ps} = 40 \text{ MPa}$
- součinitel snížení plasticity materiálu v oblasti výronku vlivem
poklesu teploty dle ČSN 22 8306 $C_0 = 4,2$
- rozměry průřezu výkovku potřebné k výpočtu napětí

$$H1 = 53,8 \text{ mm}$$

$$H2 = 5,1 \text{ mm}$$

$$H4 = 11,2 \text{ mm}$$

$$H6 = 2,5 \text{ mm}$$

$$D1 = 18,7 \text{ mm}$$

$$D4 = 56,6 \text{ mm}$$

$$D5 = 98 \text{ mm}$$

$$D_v = 152,1 \text{ mm}$$

$$D_c = 162 \text{ mm}$$

Napětí σ_0 v bodě průřezu výkovku 0

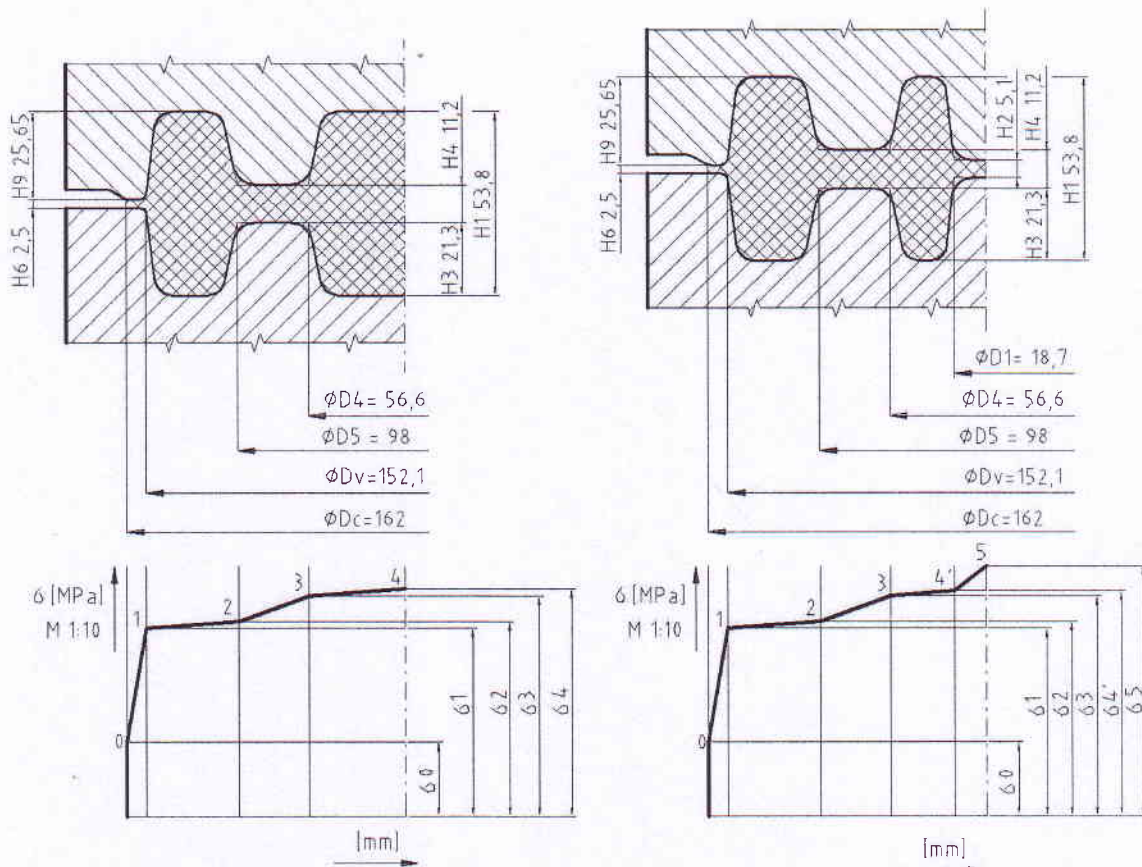
$$\sigma_0 = 1,285 \cdot \sigma_{ps} \cdot C_0 = 1,285 \cdot 40 \cdot 4,2 = \underline{215,9 \text{ MPa}}$$

Napětí σ_1 v bodě průřezu výkovku 1

$$\sigma_1 = \sigma_0 + \sigma_{ps} \cdot C_0 \cdot \frac{\frac{D_c - D_v}{2}}{H6} = 215,9 + 40 \cdot 4,2 \cdot \frac{\frac{162 - 152,1}{2}}{2,5} = \underline{548,5 \text{ MPa}}$$

Napětí σ_2 v bodě průřezu výkovku 2

$$\sigma_2 = \sigma_1 + \sigma_{ps} \cdot \frac{\frac{D_v - D_s}{2}}{H1} = 548,5 + 40 \cdot \frac{\frac{152,1 - 98}{2}}{53,8} = \underline{568,6 \text{ MPa}}$$



Obr. 3.4 – Průběh normálních napětí v bodech průřezu výkovku
vlevo bez překování a vpravo s překováním díry

Napětí σ_3 v bodě průřezu výkovku 3

$$\sigma_3 = \sigma_2 + \sigma_{ps} \cdot \frac{\frac{D_5 - D_4}{2}}{H4} = 568,6 + 40 \cdot \frac{98 - 56,6}{11,2} = 642,5 \text{ MPa}$$

Napětí σ_4 v bodě průřezu výkovku 4

$$\sigma_4 = \sigma_3 + \sigma_{ps} \cdot \frac{\frac{D_4}{2}}{H1} = 642,5 + 40 \cdot \frac{56,6}{53,8} = 663,5 \text{ MPa}$$

Napětí $\sigma_{4'}$ v bodě průřezu výkovku 4'

$$\sigma_{4'} = \sigma_3 + \sigma_{ps} \cdot \frac{\frac{D_4 - D_1}{2}}{H1} = 642,5 + 40 \cdot \frac{56,6 - 18,7}{53,8} = 656,6 \text{ MPa}$$

Napětí σ_5 v bodě průřezu výkovku 5

$$\sigma_5 = \sigma_4 + \sigma_{ps} \cdot \frac{\frac{D_1}{2}}{H2} = 656,6 + 40 \cdot \frac{\frac{18,7}{2}}{5,1} = 730 \text{ MPa}$$

3.3.2 Síla vznikající od normálních napětí

- Síla vznikající od normálních napětí je rovna objemu tělesa vzniklého rotací plochy ohraničené křivkou napětí a osou x kolem osy výkovku.

$$F_n = 2 \cdot \pi \cdot \int \sigma \cdot dS_c = 2 \cdot \pi \cdot \sum_{i=1}^{n=13} S_i \cdot x_i \quad (3.13)$$

- Výsledky jednotlivých napětí v průřezu výkovku:

Bez předkování díry:
 napětí $\sigma_0 = 215,9 \text{ MPa}$
 napětí $\sigma_1 = 548,5 \text{ MPa}$
 napětí $\sigma_2 = 568,6 \text{ MPa}$
 napětí $\sigma_3 = 642,5 \text{ MPa}$
 napětí $\sigma_4 = 663,5 \text{ MPa}$

S předkováním díry:
 napětí $\sigma_0 = 215,9 \text{ MPa}$
 napětí $\sigma_1 = 548,5 \text{ MPa}$
 napětí $\sigma_2 = 568,6 \text{ MPa}$
 napětí $\sigma_3 = 642,5 \text{ MPa}$
 napětí $\sigma_4' = 656,6 \text{ MPa}$
 napětí $\sigma_5 = 730 \text{ MPa}$

- Výpočet dílčích ploch pod křivkou napětí a vzdáleností těžišť ploch od osy rotace u výkovku bez předkování díry(Obr. 3.5)

Plocha S_{n1} a vzdálenost x_1

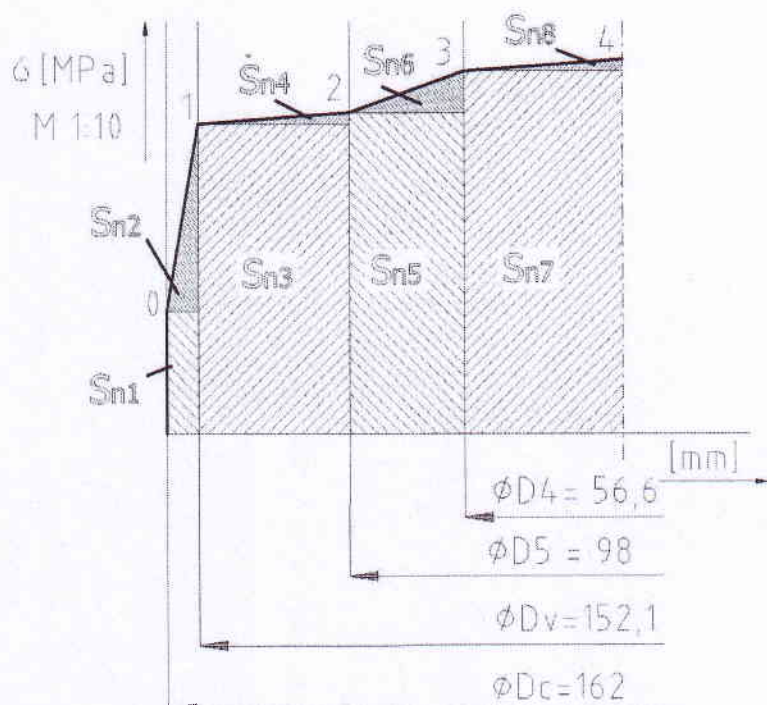
$$S_{n1} = \sigma_0 \cdot \frac{D_c - D_v}{2} = 215,9 \cdot \frac{162 - 152,1}{2} = 1068,7 \text{ MPa} \cdot \text{mm}$$

$$x_1 = \frac{D_c}{2} - \frac{D_c - D_v}{4} = \frac{162}{2} - \frac{162 - 152,1}{4} = 78,5 \text{ mm}$$

Plocha S_{n2} a vzdálenost x_2

$$S_{n2} = \frac{(\sigma_1 - \sigma_0) \cdot (D_c - D_v)}{4} = \frac{(548,5 - 215,9) \cdot (162 - 152,1)}{4} = 823,2 \text{ MPa} \cdot \text{mm}$$

$$x_2 = \frac{D_v}{2} + \frac{D_c - D_v}{6} = \frac{152,1}{2} + \frac{162 - 152,1}{6} = 77,7 \text{ mm}$$



Obr. 3.5 – Rozdělení plochy vzniklé pod křivkou normálného napětí na dílčí plochy – bez diry

Plocha S_{n3} a vzdálenost x_3

$$S_{n3} = \sigma_1 \cdot \frac{D_v - D_s}{2} = 548,5 \cdot \frac{152,1 - 98}{2} = 14836,9 \text{ MPa} \cdot \text{mm}$$

$$x_3 = \frac{D_s}{2} + \frac{D_v - D_s}{4} = \frac{98}{2} + \frac{152,1 - 98}{4} = 62,5 \text{ mm}$$

Plocha S_{n4} a vzdálenost x_4

$$S_{n4} = \frac{(\sigma_2 - \sigma_1) \cdot (D_v - D_s)}{4} = \frac{(568,6 - 548,5) \cdot (152,1 - 98)}{4} = 1087,4 \text{ MPa} \cdot \text{mm}$$

$$x_4 = \frac{D_s}{2} + \frac{D_v - D_s}{6} = \frac{98}{2} + \frac{152,1 - 98}{6} = 58 \text{ mm}$$

Plocha S_{n5} a vzdálenost x_5

$$S_{n5} = \sigma_2 \cdot \frac{D_s - D_4}{2} = 568,6 \cdot \frac{98 - 56,6}{2} = 11770 \text{ MPa} \cdot \text{mm}$$

$$x_5 = \frac{D_4}{2} + \frac{D_s - D_4}{4} = \frac{56,6}{2} + \frac{98 - 56,6}{4} = 38,7 \text{ mm}$$

Plocha S_{n6} a vzdálenost x_6

$$S_{n6} = \frac{(\sigma_3 - \sigma_2) \cdot (D_5 - D_4)}{4} = \frac{(642,5 - 568,6) \cdot (98 - 56,6)}{4} \\ = 764,9 \text{ MPa} \cdot \text{mm}$$

$$x_6 = \frac{D_4}{2} + \frac{D_5 - D_4}{6} = \frac{56,6}{2} + \frac{98 - 56,6}{6} = 35,2 \text{ mm}$$

Plocha S_{n7} a vzdálenost x_7

$$S_{n7} = \sigma_3 \cdot \frac{D_4}{2} = 642,5 \cdot \frac{56,6}{2} = 18182,8 \text{ MPa} \cdot \text{mm}$$

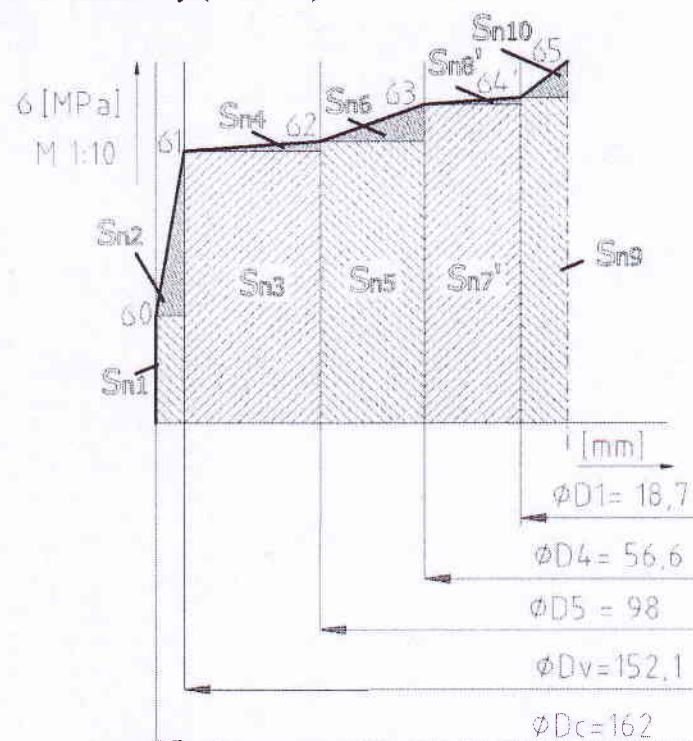
$$x_7 = \frac{D_4}{4} = \frac{56,6}{4} = 14,15 \text{ mm}$$

Plocha S_{n8} a vzdálenost x_8

$$S_{n8} = \frac{(\sigma_4 - \sigma_3) \cdot D_4}{4} = \frac{(663,5 - 642,5) \cdot 56,6}{4} = 297,2 \text{ MPa} \cdot \text{mm}$$

$$x_8 = \frac{D_4}{6} = \frac{56,6}{6} = 9,4 \text{ mm}$$

- Výpočet dílčích ploch pod křivkou napětí a vzdáleností těžišť ploch od osy rotace (S_{n1} až x_6 jsou stejné) u výkovku s překováním díry (Obr. 3.6)



Obr. 3.5 – Rozdělení plochy vzniklé pod křivkou normálného napětí na dílčí plochy – bez díry

Plocha S_{n7}' a vzdálenost x_7'

$$S_{n7}' = \sigma_3 \cdot \frac{D_4 - D_1}{2} = 642,5 \cdot \frac{56,6 - 18,7}{2} = \underline{12175,4 \text{ MPa} \cdot \text{mm}}$$

$$x_7' = \frac{D_1}{2} + \frac{D_4 - D_1}{4} = \frac{18,7}{2} + \frac{56,6 - 18,7}{4} = \underline{18,8 \text{ mm}}$$

Plocha S_{n8}' a vzdálenost x_8'

$$S_{n8}' = \frac{(\sigma_4' - \sigma_3) \cdot (D_4 - D_1)}{4} = \frac{(656,6 - 642,5) \cdot (56,6 - 18,7)}{4} \\ = \underline{133,6 \text{ MPa} \cdot \text{mm}}$$

$$x_8' = \frac{D_1}{2} + \frac{D_4 - D_1}{6} = \frac{18,7}{2} + \frac{56,6 - 18,7}{6} = \underline{15,67 \text{ mm}}$$

Plocha S_{n9} a vzdálenost x_9

$$S_{n9} = \sigma_4 \cdot \frac{D_1}{2} = 656,6 \cdot \frac{18,7}{2} = \underline{6139,2 \text{ MPa} \cdot \text{mm}}$$

$$x_9 = \frac{D_1}{4} = \frac{18,7}{4} = \underline{4,68 \text{ mm}}$$

Plocha S_{n10} a vzdálenost x_{10}

$$S_{n10} = \frac{(\sigma_5 - \sigma_4) \cdot D_1}{4} = \frac{(730 - 656,6) \cdot 18,7}{4} = \underline{343,2 \text{ MPa} \cdot \text{mm}}$$

$$x_{10} = \frac{D_1}{6} = \frac{18,7}{6} = \underline{3,12 \text{ mm}}$$

Tab. 3.1 – Součet ploch ohraničených křivkou napětí a osou x

Plocha	S_{ni} [MPa/mm]	x_i [mm]	$S_{ni} \cdot x_i$
S_{n1}	1068,7	78,5	83893
S_{n2}	823,2	77,7	63962,6
S_{n3}	14836,9	62,5	927306,3
S_{n4}	1087,4	58	63069,2
S_{n5}	11770	38,7	455499
S_{n6}	764,9	35,2	26924,5
S_{n7}	18182,8	14,15	257286,6
S_{n8}	297,2	9,4	2793,7
$S_{n7'}$	12175,4	18,8	228897,5
$S_{n8'}$	133,6	15,67	2093,5
S_{n9}	6139,2	4,68	28731,5
S_{n10}	343,2	3,12	1070,8
$\sum_{i=1}^{n=8} x_i \cdot S_{ni}$	$S_{n1} \times x_1$ až $S_{n8} \times x_8$		1880734,9
$\sum_{i=1}^{n=8} x_i \cdot S_{ni}$	$S_{n1} \times x_1$ nepočítá se $S_{n7,8}$ a $x_{7,8}$		1881447,9

- Síla vznikající od normálních napětí

- Bez předkování díry

$$F_n = 2 \cdot \pi \cdot \sum_{i=1}^{n=8} x_i \cdot S_{ni} = 2 \cdot \pi \cdot 1880734,9 = \underline{\underline{11811015N}}$$

- S předkováním díry

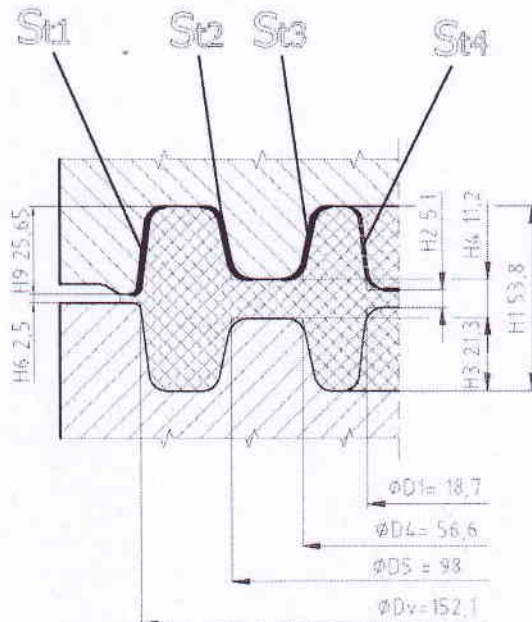
$$F_n' = 2 \cdot \pi \cdot \sum_{i=1}^{n=8} x_i \cdot S_{ni} = 2 \cdot \pi \cdot 1881447,9 = \underline{\underline{11815493N}}$$

3.3.3 Síla vznikající od tangenciálních napětí

- Vedle normálních napětí vznikají na povrchu bočních ploch výkovku v pohybujícím se dílu záplustky napětí tangenciální.

Maximální hodnota tangenciálního napětí je rovna. $\frac{\sigma_{ps}}{2}$ Síla vznikající od tangenciálního napětí se vyjádří:

$$F_t = \frac{\sigma_{ps}}{2} \cdot \sum_{i=1}^{n=3} \Delta S_{ti} = \frac{\sigma_{ps}}{2} \cdot S_t$$



Obr. 3.6 –Na silně vyznačené plochy v horním dílu záplustky působí tangenciální napětí (s dírou a bez díry)

$$\begin{aligned}H2 &= 5,1 \text{ mm} \\H3 &= 21,3 \text{ mm} \\H4 &= 11,2 \text{ mm} \\H9 &= 25,65 \text{ mm}\end{aligned}$$

$$\begin{aligned}D1 &= 18,7 \text{ mm} \\D4 &= 56,6 \text{ mm} \\D5 &= 98 \text{ mm} \\D_v &= 152,1 \text{ mm}\end{aligned}$$

- Výpočet ploch na které působí tangenciální napětí (Obr. 3.6)

Plocha S₁₁

$$S_{11} = \pi \cdot D_v \cdot H9 = \pi \cdot 152,1 \cdot 25,65 = \underline{12250,3 \text{ mm}^2}$$

Plocha S₁₂

$$S_{12} = \pi \cdot D_5 \cdot H3 = \pi \cdot 98 \cdot 21,3 = \underline{6554,4 \text{ mm}^2}$$

Plocha S₁₃

$$S_{13} = \pi \cdot D_4 \cdot H3 = \pi \cdot 56,6 \cdot 21,3 = \underline{3785,5 \text{ mm}^2}$$

Plocha S₁₄

$$S_{14} = \pi \cdot D_1 \cdot \left(H3 + \frac{H4}{2} - \frac{H2}{2} \right) = \pi \cdot 18,7 \cdot \left(21,3 + \frac{11,2}{2} - \frac{5,1}{2} \right) = \underline{1429,8 \text{ mm}^2}$$

Bez předkování díry

$$\sum_{i=1}^{n=3} \Delta S_{ii} = \underline{22590,2 \text{ mm}^2}$$

S předkováním díry

$$\sum_{i=1}^{n=4} \Delta S_{ii} = \underline{24020 \text{ mm}^2}$$

- Síla vznikající od tangenciálních napětí
- Bez předkování díry

$$F_t = \frac{\sigma_{ps}}{2} \cdot \sum_{i=1}^{n=3} \Delta S_{ti} = \frac{40}{2} \cdot 22590,2 = \underline{\underline{451804N}} \quad (3.14)$$

- S předkováním díry

$$F_t' = \frac{\sigma_{ps}}{2} \cdot \sum_{i=1}^{n=4} \Delta S_{ti} = \frac{40}{2} \cdot 24020 = \underline{\underline{480400N}}$$

3.3.4 Výsledná kovací síla

- Bez předkování díry
-
- $F_k = F_n + F_t = 11811015 + 451804 = 12262819 = \underline{\underline{12,26MN}}$
- S předkováním díry

$$F_k = F_n + F_t' = 11815493 + 480400 = 12295893 = \underline{\underline{12,3MN}}$$

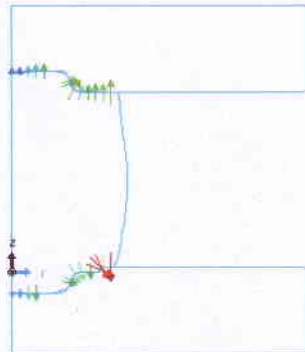
3.3.5 Volba varianty kování

Rozdíl kovacích sil u variant bez předkování díry a s předkováním díry je minimální. Dokonce při výpočtech tvářecích sil např. dle Storoževa a Rebelského vycházejí kovací síly totožné. Důvodem je zadávání stejných hodnot (průměr plochy, průměr výkovku, celkový průměr, šířka můstku, výška výronkového můstku) do empirických vzorců. Výhodou předkování je úspora materiálu. Nevýhodou jsou větší náklady na nástroje (zápustky). Vlivem vysokých teplot a mechanickému namáhání by docházelo k velkému opotřebení předkovacího čepu a tím i snížení životnosti. Varianta s předkováním díry byla navržena s ohledem na větší úsporu materiálu. Byl proveden výpočet tloušťky blány, ale za rizika obtíží při kování. Také by bylo velice obtížné děrování a návrh děrovací matrice. Z těchto důvodů volím variantu bez předkování díry.

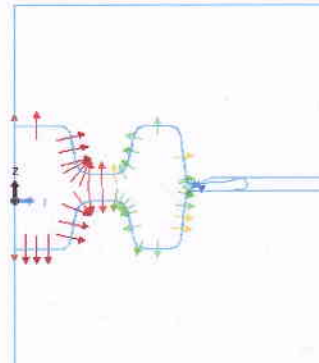
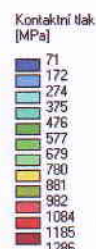
3.4 Kontrola tvářecího procesu pomocí simulace

Simulace byla prováděna na VUT Brno FSI, odbor tváření ÚST v softwaru FormFem. Podle základních vstupních konstrukčních parametrů předkovací (Příloha č.4), dokončovací (Příloha č.5), zápustky, rozměru přízezu a technologických parametrů (materiál výkovku, materiál nástroje, kovací teplota, teplota nástroje, mazivo, rychlosť beranu, přestup tepla) se vytvoří model, pro který se provádí výpočet pomocí metody konečných prvků. Výsledek simulace v softwaru FormFem ukazuje celkový průběh tvářecího procesu. A sice intenzitu přetvoření a napětí vyjadřující účinek sledovaného přetvoření a napjatosti v bodě přetvářeného tělesa (Obr. 3.11, 3.12), průběh vrstevnic (Obr. 3.13), rozložení tlaků v předkovací (Obr. 3.7) a dokončovací (Obr. 3.8) dutině pomocí, kterého zjišťujeme namáhání nástroje, rozložení teploty ve výkovku (Obr. 3.9, 3.10), kde je patrné snížení teploty výkovku v místech styku s nástrojem a síly působící na nástroj (Obr. 3.14).

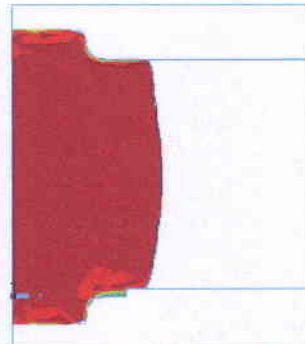
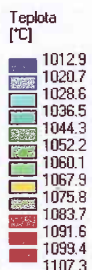
Výstupy ze softwaru FormFem:



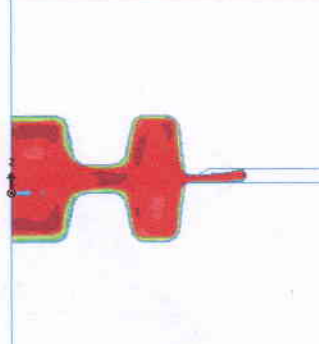
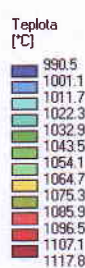
Obr. 3.7 – Kontaktní tlak působící na předkovací dutinu



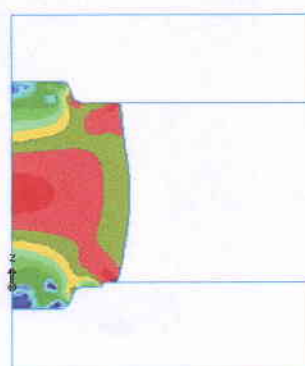
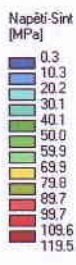
Obr. 3.8 – Kontaktní tlak působící na dokončovací dutinu



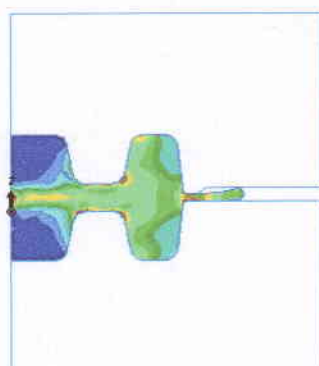
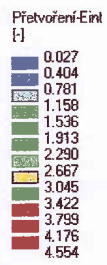
Obr. 3.9 – Rozložení teploty součásti při předkovací operaci



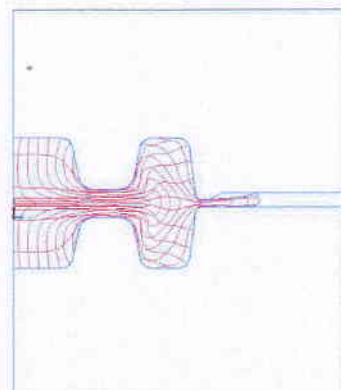
Obr. 3.10 – Rozložení teploty součásti při dokončovací operaci



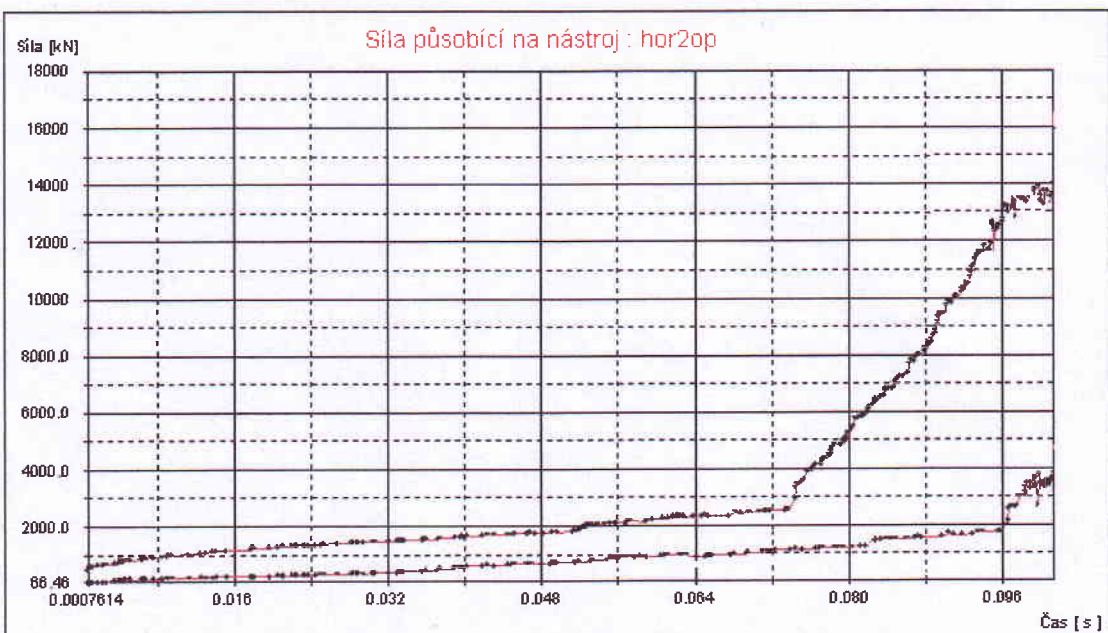
Obr. 3.11 – Intenzita napětí při předkovací operaci



Obr. 4.12 – Intenzita přetvoření při dokončovací operaci



Obr. 3.13 – Průběh vrstevnic dokončovací operaci

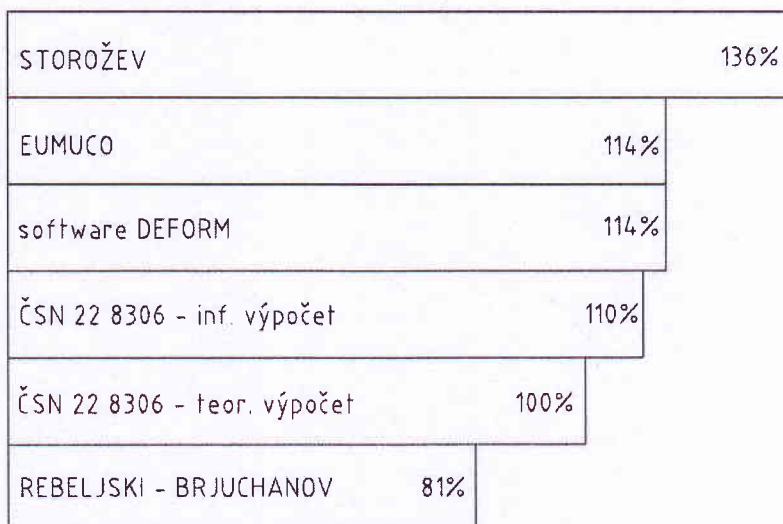


Obr. 3.14 – Síly působící na nástroj
a) horní křivka – ve směru rázu
b) dolní křivka – kolmo k rázu

Analýzou provedenou simulačním softwareem FormFem bylo zjištěno, že na kontaktní tlak bude u dokončovací dutiny nejvíce namáhána oblast náboje pastorku, kdy maximální tlak dosahuje hodnot 1286 MPa (Obr. 3.8). Potřebná tvářecí síla je dle výstupu programu FormFem 14MN (Obr. 3.14). Dále teplota v místech výronku výrazně nepoklesne, což je výhodné pro další operaci ostřížení výronku (Obr. 3.10).[2],[4]

3.5 Srovnání výpočtových metod kovací síly

Dle [1] jsem provedl srovnání použitých metod kovacích sil, kdy se za 100% se považuje výpočet pomocí Tomlenova (ČSN 22 8306), viz. (Obr. 3.15).



Obr. 3.15 – Srovnání výpočtových metod kovací síly

3.6 Návrh tvářecího stroje

Porovnáním výpočtů tvářecích sil volím pro kování polotovaru pastorku svislý kovací lis LMZ 2500 (výrobce Šmeral Brno a.s.), (Příloha č.18). Žádná z vypočtených sil dle kapitoly 3.5 nedosahuje jmenovité hodnoty tvářecí síly zvoleného lisu. Lis je volen s ohledem na budoucí řešení automatizace řízení lisu např. opatření elektronickým transferem. (K upnutí zápunkových bloků bude použit univerzální upínač zápunků QLMZ 2500/UC (Příloha č.19).

3.7 Výpočet ostřihovací síly

Po vykování zůstane na obvodě výkovku přebytečný materiál (výronek), který je nutné odstranit ostřízením. Výpočet střížné síly:

- Průměr výkovku $D_v = 152,1 \text{ mm}$
- Výška výronku $h = 2,5 \text{ mm}$
- Mez pevnosti(14220) $Rm=800 \text{ MPa}$
- Koeficient vnějš. vlivů volím 1,7
(razník nedosedá na výrobek, ale tlačí na výkovek)
- Bezpečnost 2

$$F_{str} = 1,7 \cdot 0,8 \cdot Rm \cdot O \cdot 2h = 2,7 \cdot Rm \cdot O \cdot h = 2,72 \cdot 800 \cdot \pi \cdot 152,1 \cdot 2,5 = \underline{\underline{2,6 MN}}$$

3.8 Návrh ostřihovacího stroje

Dle výpočtu ostřihovací síly volím ostřihovací lis LDO 315 A/1 (výrobce Šmeral Brno a.s.), (Příloha č.20)

3.9 Kontrola rozměrů záplastkového bloku

3.9.1 Předkovací záplastka - ověření

Kontrola provedena dle normy ČSN 22 8306, rozměry dle výkresu č. DP2012 – 04, (Příloha č.4).

- Průměr dutiny $D = 81,5 \text{ mm}$
 - Hloubka dutiny $H = 12 \text{ mm}$
- (3.15)

$$D_{BLOKU_a} \geq D + 0,2 \cdot (D + H) + 5 = 81,5 + 0,2 \cdot (81,5 + 12) + 5 = \underline{105,2 \text{ mm}}$$

Minimální průměr záplastkového bloku je 105,2 mm, což vyhovuje konstrukčnímu řešení dle výkresu č. DP2012 – 04, (Příloha č.4).

3.9.2 Dokončovací záplastka - ověření

Kontrola provedena dle normy ČSN 22 8306, rozměry dle (Obr. 4.2)

- Průměr dutiny $D_v = 152,1 \text{ mm}$
 - Hloubka dutiny $H8 = 25,65 \text{ mm}$
- (3.16)

$$D_{BLOKU_b} \geq D_v + 0,4 \cdot (D_v + H8) + 10 = 152,1 + 0,4 \cdot (152,1 + 25,65) + 10 = \underline{233,2 \text{ mm}}$$

Minimální průměr záplastkového bloku je 233,2 mm, což vyhovuje konstrukčnímu řešení dle výkresu č. DP2012 – 05, (Příloha č.5).

3.10 Stupeň prokování

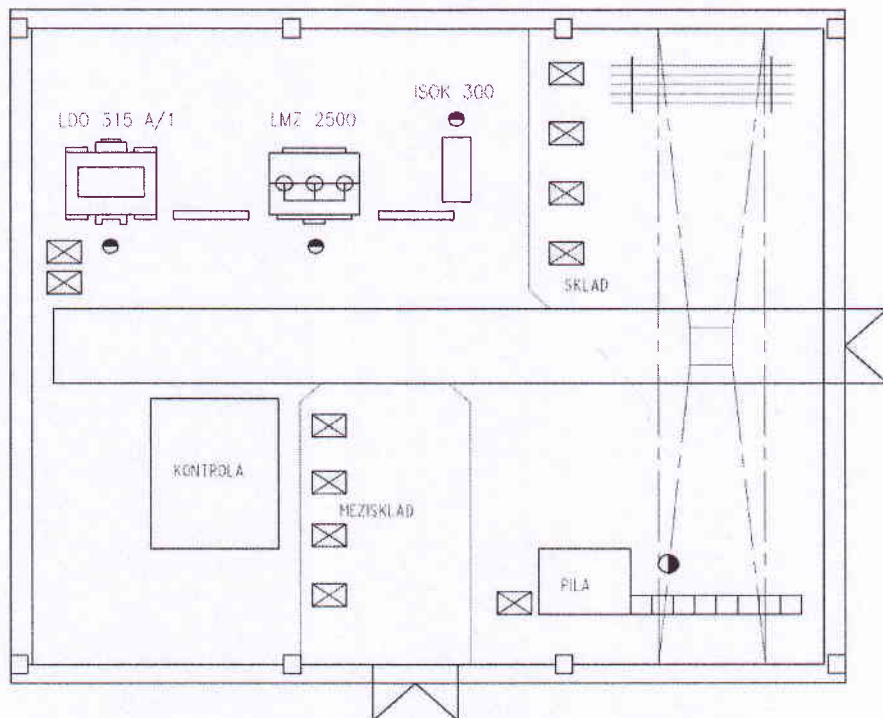
Stupeň prokování vyjadřuje změnu rozměru (průměru, délky, atd.) před provedením tvářecí operace a po ní. Tím dosahujeme zlepšení fyzikálních a mechanických vlastností, které jsou od konstruktérů požadovány. Je známo, že velikost deformace není v celém průřezu výkovku stejná a musíme brát vypočtenou hodnotu jako průměrnou a tak posoudit do jaké míry je výkovek protvářen.

- Průměr polotovaru $d_{polotovaru} = 80 \text{ mm}$
- Průměr výkovku $D = 150,5 \text{ mm}$

$$K = \left(\frac{D}{d_{polotovaru}} \right)^2 = \left(\frac{150,5}{80} \right)^2 = \underline{1,9} \quad (3.17)$$

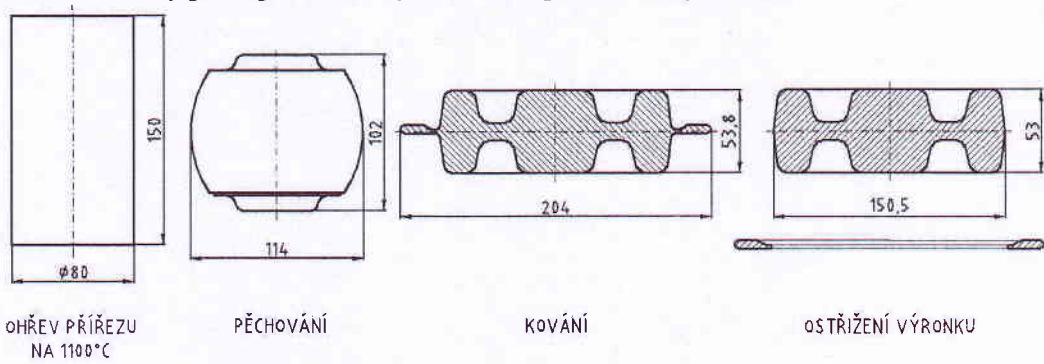
3.11 Rozvržení pracoviště, schématický postup kování a postupový list

3.11.1 Rozvržení pracoviště v dílně

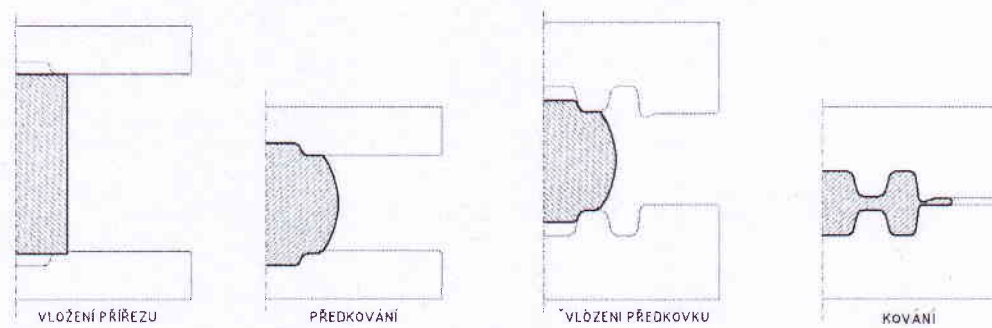


Obr. 3.16 – Rozvržení pracoviště kovací linky v dílně

3.11.2 Schématický postup kování a jednotlivé operace v záplustkách



Obr. 3.17 – Schématický postup kování



Obr. 3.18 – Schématický jednotlivých operací v záplustkách

3.11.3 Pracovní postup

Tab. 3.2 – Pracovní postup

PRACOVNÍ POSTUP		
Název výkovku:	Číslo výkresu výkovku:	Číslo výkresu součásti:
VÝKOVEK – d150,5 .1	DP2012 - 01	DP2012 - 01
Č. operace	Název operace:	
1.	Dělení materiálu – řezání	
	Jakost materiálu: 14220,0	Profil polotovaru: Ø 80 mm ČSN materiálu: 42 5510.21
	Stroj: pásová pila	Délka: 150 + 1 mm Hmotnost přízezu: 5,9 kg
	Nástroje a pomůcky: pilový pás, posuvné měřítko	
2.	Kontrola přízezu	
	Způsob kontroly: kontrola hmotnosti a jakosti přízezu po 20 kusech	
	Nástroje a pomůcky: posuvné měřítko	
3.	Kování v kovací lince	
	A	Indukční ohřev
		Stroj: ISOK 300 Teplota: 1100°C ± 20°C
		Nástroje a pomůcky: dotykový pyrometr, manipulační kleště
	B	Kování
		Stroj: LMZ 2500 Kovací teplota: 1100 °C ± 20 °C Kovací síla: 12,26 MN
		1. operace: pěchovat
		Nástroje a pomůcky: předkovací záplustky (300°C), mazivo + ofuk okují, kovářské kleště
		2. operace: dokovat
		Nástroje a pomůcky: dokončovací záplustky (300°C), mazivo + ofuk okují, kovářské kleště
	C	Ostřih
		Stroj: LDO 315 A/1 Hmotnost výkovku: 4,9 kg Střížná síla: 2,6 MN
		Nástroje a pomůcky: ostřívací nástroj, manipulační kleště
4.	Tepelné zpracování	
	Druh: normalizační žíhání na 530 – 735 MPa Agregát: vozová pec	
	Nástroje a pomůcky: manipulační kleště, manipulační koš	
5.	Kontrola tvrdosti	
	Požadovaná tvrdost: 152 – 211 HB	
	Nástroje a pomůcky: tvrdoměr, pracoviště pro přípravu měření tvrdosti	
6.	Tryskání	
	Stroj: Tryskací zařízení PTB3	
	Nástroje a pomůcky: tryskací kabina - ocelová drť	

4 NÁVRH SESTAVY A VÝROBNÍCH VÝKRESŮ

- Zadány byly:

výkres součásti

název: PASTOREK d140
číslo výkresu: DP2012 – 01

- Zkonstruovány byly:

výkres záplustkového výkovku

název: VÝKOVEK d150,5 .1
číslo výkresu: DP2012 – 02

výkres neostříženého výkovku

název: NEOSTŘIŽENÝ VÝKOVEK .1
číslo výkresu: DP2012 – 03

výkres předkovací záplustky

název: PŘEDKOVACÍ ZÁPLUSTKA .1
číslo výkresu: DP2012 – 04

výkres dokončovací záplustky

název: DOKONČOVACÍ ZÁPLUSTKA .1
číslo výkresu: DP2012 – 05

výkres sestavy

název: KOVACÍ ZÁPLUSTKY .1
číslo výkresu: DP2012 – 06

výkres vyhazovacího kolíku

název: VYHAZOVACÍ KOLÍK d16
číslo výkresu: DP2012 – 07

upínač válcovitých záplustek

název: UPÍNÁNÍ ZÁPUSTEK.1
číslo výkresu: DP2012 – 08

výkres záplustkového výkovku

název: VÝKOVEK d150,5 .2
číslo výkresu: DP2012 – 09

výkres neostříženého výkovku

název: NEOSTŘIŽENÝ VÝKOVEK .2
číslo výkresu: DP2012 – 10

výkres předkovací záplustky

název: PŘEDKOVACÍ ZÁPLUSTKA .2
číslo výkresu: DP2012 – 11

výkres dokončovací záplustky

název: DOKONČOVACÍ ZÁPLUSTKA .2
číslo výkresu: DP2012 – 12

výkres sestavy

název: KOVACÍ ZÁPLUSTKY .2
číslo výkresu: DP2012 – 13

výkres vyhazovacího kolíku

název: VYHAZOVACÍ KOLÍK d10
číslo výkresu: DP2012 – 14

upínač válcovitých záplustek

název: UPÍNÁNÍ ZÁPUSTEK.2
číslo výkresu: DP2012 – 15

5 TECHNICKO – EKONOMICKÉ ZHODNOCENÍ

5.1 Životnost kovacích záplustek

Životnost kovacích záplustek závisí především na druhu a složitosti tvaru výkovku, na materiuu záplustky a na počtu vykonaných pracovních zdvihů. V našem případě se budeme zabývat životností dokončovací záplustky (č.v.: DP2012 – 05), (Příloha č.5). Předkovací záplustku (č.v.: DP2012 – 04), (Příloha č.4) uvažuji s životností na celou sérii 160 000 ks za rok s jednou opravou jejich čel.

V našem případě je série 160 000 ks za rok a na jedné dokončovací záplustce je možné vykovat 20 000 ks do její výměny (včetně oprav záplustky). Na ostřížení výronku uvažuji jednu výměnu ostřihovacího nástroje.

5.2 Cena záplustkového výkovku

- celkový počet kusů výkovků
 $a = 160000 \text{ ks}$

- celková životnost dokončovací záplustky
 $b = 20000 \text{ ks}$

- počet kusů dokončovacích záplustek

$$c = \frac{a}{b} = \frac{160000}{20000} = 8 \text{ ks}$$

$$\text{hmotnost dokončovací záplustky} \quad m_1 = 180 \text{ kg}$$

- počet kusů předkovcích záplustek

$$d = 1 \text{ ks}$$

$$\text{hmotnost předkovací záplustky} \quad m_2 = 145 \text{ kg}$$

- počet kusů ostřihovacích nástrojů

$$e = 2 \text{ ks}$$

$$\text{hmotnost ostřihovacího nástroje} \quad m_3 = 160 \text{ kg}$$

- Spotřebovaná hmotnost nástrojů na 160 000 ks výkovků

$$m_{nc} = c \cdot m_1 + d \cdot m_2 + e \cdot m_3 = 8 \cdot 180 + 1 \cdot 145 + 2 \cdot 160 = 1905 \text{ kg}$$

- cena 1kg tvářecích nástrojů

$$f = 810 \text{ Kč/kg}$$

(cena obsahuje materiál, obrobení a tepelné zpracování předkovacích a dokončovacích záplustek a ostřihovacího nástroje)

- celková cena spotřebovaných tvářecích nástrojů

$$g = m_{nc} \cdot f = 1905 \cdot 810 = 1543050 \text{ Kč}$$

- podíl ceny tvářecích nástrojů na jeden kus výrobku

$$h = \frac{g}{a} = \frac{1543050}{160000} = \underline{\underline{9,6 \text{ Kč / ks}}}$$

- cena výchozího materiálu na 1ks

- materiál 14 220.0
- cena materiálu 20 Kč/kg
- tyče Ø80 x 4000dl. s povrchem pro tváření ČSN 42 5510.21 (uvažován prořez pásové pily 3mm a přídavek na konec tyče 50mm)

$$m_{tyce} = 158 \text{ kg}$$

- rozměr přířezu Ø80 x 150dl.
- počet ks. přířezu z jedné tyče 26ks

$$i = \frac{m_{tyce} \cdot (cena_za_kg)}{(ks_prirezu_z_1_tyce)} = \frac{158 \cdot 20}{26} = \underline{\underline{121,5 \text{ Kč / ks}}}$$

- směnnost pracoviště kovací linky
dvousměnný provoz

- počet výkovků za směnu

$$j = 1300 \text{ ks}$$

- počet směn na výrobu celé série

$$k = \frac{a}{j} = \frac{160000}{1300} = 124 \text{ směn}$$

- počet pracovníků v jedné směně
3 pracovníci

- normohodin na jeden kus výkovku

$$Nh = 0,02 \text{ hod / ks}$$

- cena normohodiny v kovárně
140 Kč

- mzda na jeden kus

$$l = Nh \cdot 120 = 0,02 \cdot 140 = \underline{\underline{2,8 \text{ Kč}}}$$

- celková režie

1600%

- cena vratného materiálu na 1ks

cena šrotu 4Kč/kg

$$p = (m_{výk} - m_{otřízeny}) \cdot 3 = (5,9 - 4,9) \cdot 4 = 4 \text{ Kč}$$

- **cena 1 kusu výkovku**

$$x = h + i + l + l \cdot 1600\% - p = 9,6 + 121,5 + 2,8 + 2,8 \cdot 16 - 4 = \underline{\underline{174,7 \text{ Kč}}}$$

Jako jeden z prostředků snížení pracnosti a doby na výrobu výkovku se jeví zavedení mechanizace pomocí robotů. V tomto případě by došlo ke snížení mezd, ale mohlo by dojít k nárustu režie kovárny.

5.3 Cena součásti podobné záplastkovému výkovku vyráběná pomocí třískového obrábění

- **cena výchozího materiálu 14 220; Ø160 x 70 (20 Kč/kg)**

$$a' = m_{kotouče} \cdot cena = 7,6 \cdot 20 = \underline{\underline{152 \text{ Kč / ks}}}$$

- **normohodin na jeden kus obroběné součásti**
 $Nh' = 1,2 \text{ hod / ks}$

- **cena normohodiny v obrobni**
120 Kč

- **mzda na jeden kus**
 $b' = Nh' \cdot 120 = 1,2 \cdot 120 = 144 \text{ Kč}$

- **celková režie**
1300%

- **cena vratného materiálu na 1ks**
cena šrotu 4Kč/kg
 $p' = (m_{kotouče} - m_{současti}) \cdot 4 = (7,6 - 5,7) \cdot 4 = 7,6 \text{ Kč}$

- **cena 1 kusu obrobku**

$$x' = a' + b' + b' \cdot 1300\% - p' = 152 + 144 + 144 \cdot 13 - 7,6 = \underline{\underline{2160,4 \text{ Kč}}}$$

5.4 Zhodnocení ekonomického propočtu

Cena záplastkového výkovku je **174,7 Kč**

Cena obroběné součásti podobné výkovku **2160,4 Kč**

Záplastkový výkovek je mnohem levnější jak cena stejného tvaru vyrobeného pomocí třískového obrábění. Další výhodou je kratší výrobní čas celé dávky, úspora materiálu a lepší průběh vláken výkovku oproti obroběné součásti, což příznivě ovlivňuje mechanické vlastnosti pastorku.

6 ZÁVĚR

V diplomové práci je uvedena studie současných znalostí z technologie objemového tváření za tepla, přesněji zápustkového kování. V literární rešerši o kování jsem se zmínil o technologických přídavcích, přípravě polotovaru, kovací teplotě a zařízení sloužící pro ohřev na kovací teplotu, dělící rovině, apod. Je zde i popis některých bodů, které se týkají konstrukce zápustkového nástroje. V kapitole tří řeším současný stav výroby zadané součásti PASTOREK, č.v.: DP2012 - 01 a volím nejvhodnější možné technologické řešení. Detailně vybrané řešení rozebíram ve 3 kapitole. Určuji kovací sílu nejprve pomocí informativního a teoretického výpočtu podle normy ČSN 22 8306, dále dle diagramu EUMUCO a autorů Rebeljski-Brjuchanov a dle Storoževa. Spolu se schématickým postupem výroby uvádím i postupový list. Navrhnu bylo i schéma pracoviště kovací linky v dílně. Významnou úlohu v práci hraje i zhodnocení tvářecího procesu pomocí simulačního softwaru FormFem. V kapitole páté s technicko – ekonomickým zhodnocením jsem nejprve stanovil cenu jednoho kusu zápustkového výkovku a pak cenu součásti, která má tvar zápustkového výkovku a je vyráběná pomocí třískového obrábění. A obě ceny jsem porovnal.

Diplomová práce poukazuje na to, že zápustkovým kováním šetříme jednak materiál a výrobní časy, což výrazně snižuje cenu samotného výkovku. Nespornou výhodou výkovku je lepší prokování a průběh vláken. Tím se samozřejmě zhodnocují mechanické vlastnosti obroběného kusu. Než začne výroba zápustkových výkovků polotovaru pastorku, je nutné provést kovací zkoušku

Kovárenství se dále může zlepšovat postupnou automatizací a zvýšením taktu např. kovacích linek, použití manipulačních robotů a robotů na mazání záustek, apod. Dále nesmíme zapomenout na vývoj nových maziv a materiálů na záustky s vyšší životností.

Seznam použitých zdrojů

- [1] FOREJT, M. *Teorie tváření*. 1. vyd. Brno: Akademické nakladatelství CERM, 2004. 168 s. ISBN 80-214-2764-7
- [2] HAŠEK, V. a KOL. , *Kování*. 1. vyd. Praha: SNTL, 1965. 732 s. 04-233-65
- [3] ELFMARK, J. *Tváření kovů*. 1. vyd. Praha: SNTL, 1992. 528 s. ISBN 80-03-00651-1
- [4] ĎÁSEK, J. *Záplustky a jejich tepelné zpracování*. 1.vyd. Praha: SNTL, 1966. 120 s. 04-233-66
- [5] DRASTÍK, F. *Výpočty z oboru kování a lisování*. 1.vyd. Praha: SNTL, 1972. 192 s. 04-227-72
- [6] KOTOUČ, J., ŠANOVEC, J., ČERMÁK, J. a MÁDLE, L. *Tvářecí stroje*. 1.vyd. Praha: Vydavatelství ČVUT. 1993. 349s. ISBN 80-01-01003-1
- [7] NOVOTNÝ, K. a KOPŘIVA, M. Počítačová simulace v záplustkovém kování. *Kovárenství – časopis SVAZU KOVÁREN ČESKÉ REPUBLIKY*. Červen 2003, č.22, s.3-6. ISSN 1213-9829
- [8] NOVOTNÝ, K. a KOPŘIVA, M. Zvýšení životnosti nástrojů při výrobě ventilů s aplikací odporového ohřevu. *Kovárenství – časopis SVAZU KOVÁREN ČESKÉ REPUBLIKY*. Duben 2006, č.27, s.22-24. ISSN 1213-9829
- [9] HÝSEK, R. *Tvářecí stroje*. 3. vyd. Praha: SNTL, 1980. 552 s. 04-211-80
- [10] SVAZ VÝROBCŮ A DODAVATELŮ STROJÍRENSKÉ TECHNIKY. *Katalog obráběcích a tvářecích strojů 2002-2004*. 1. vyd. Praha
- [11] ZÁKLADNÍ TECHNICKÉ ÚDAJE TVÁRECÍCH STROJŮ, *Katalog pro konstruktéry, Žďárské strojírny a slévárny, národní podnik*. Žďár n. s. 1963
- [12] BŘEZINA, R. *Technologie slévání, tváření a svařování – návody do cvičení*. 3. vyd. Ostrava: Editační středisko VŠB. 1989. 171s.
- [13] Norma ČSN 22 8306
- [14] Norma ČSN 42 9030

Seznam použitých zkrátek a symbolů

A_k	[J]	potřebná práce při posledním úderu bucharu (kruhový výkovek)
A_n	[J]	potřebná práce při posledním úderu bucharu (nekruhový výkovek)
b	[mm]	šířka můstku výronkové drážky
B_s	[mm]	střední výška výkovku
b_z	[mm]	šířka zásobníku výronkové drážky
c_o	[-]	součinitel snížení plasticity za kovací teploty v místech výronku
D1-D10	[mm]	jednotlivé průměry výkovku dle výkresu č. DP2012 - 03 a č. DP2012 - 10
D_{BLOK_a}	[mm]	minimální průměr záplastkového bloku (překovací operace)
D_{BLOK_b}	[mm]	minimální průměr záplastkového bloku (dokončovací operace)
D_{polotovaru}, D_{polotovaru'}	[mm]	průměr polotovaru (přízezu)
D_c	[mm]	průměr neostříženého výkovku
D_v	[mm]	průměr výkovku
F_e	[N]	tvárcí síla stanovená dle diagramu EUMUCO (Příloha č.17)
F_k	[N]	tvárcí síla dle ČSN 22 8306
F_{k-reb}	[N]	tvárcí síla dle Rebeljski - Brjuchanov
F_n, F_{n'}	[N]	síla vzniklá od normálních napětí působících na nástroj
F_s	[N]	tvárcí síla dle Storoževa
F_{str}	[N]	ostřihovací síla
F_t, F_{t'}	[N]	síla vzniklá od tečných napětí působících na nástroj
h	[mm]	výška můstku výronkové drážky
H1-H9	[mm]	jednotlivé výšky výkovku dle výkresu č. DP2012 - 03 a č. DP2012 - 10
L	[mm]	délka výkovku
m_{polotovaru}, m_{polotovaru'}	[kg]	hmotnost polotovaru
m_{výk}, m_{výk'}	[kg]	hmotnost výkovku
n'	[-]	štíhlostní poměr (volí se od 1,5 - 2,5)
n	[mm]	hloubka zásobníku výronkové drážky
O	[mm]	vnější obvod ostříženého výkovku
R_m	[MPa]	mez pevnosti materiálu v tahu

$S_{n1}-S_{n10}, S_{n7'}, S_{n10'}$	[MPa.mm]	dílčí plochy vzniklé pod křivkou normálních napětí působících na nástroj
$S_1-S_{16}, S_{4'}$	[mm ²]	dílčí plochy průřezu neostříženého výkovku
$S_{t1}-S_{t4}$	[mm ²]	plocha výkovku na které působí tangenciální napětí
$S_{max}, S_{max'}$	[mm ²]	celková plocha průřezu neostříženého výkovku
S_v	[mm ²]	plocha průmětu výkovku do dělící roviny záplustky
$T_1-T_{16}, T_{4'}$	[mm]	vzdálenosti těžišť dílčích ploch průřezu neostříženého výkovku k ose rotace
T_c, T_c'	[mm]	vzdálenost těžiště plochy průřezu výkovku od osy rotace
x_1-x_8, x_7', x_8'	[mm]	vzdálenosti těžišť dílčích ploch vzniklých pod křivkou normálních napětí působících na nás.
α	[-]	opravný součinitel (volí se od 0,015 - 0,017)
δ	[%]	opal - volba dle způsobu ohřevu (od 1 - 6%)
ρ	[kg/m ³]	hustota
$\sigma_0-\sigma_5, \sigma_4'$	[MPa]	normálná napětí v jednotlivých průřezích výkovku označených 0 - 4
σ_p	[MPa]	přirozený přetvárný odpor materiálu
σ_{ps}	[MPa]	mez pevnosti materiálu za kovací teploty

Seznam příloh

Příloha 1	výkres: PASTOREK	č.v.: DP2012-01
Příloha 2	výkres: VÝKOVEK - d150,5 .1	č.v.: DP2012-02
Příloha 3	výkres: NEOSTŘIŽENÝ VÝKOVEK .1	č.v.: DP2012-03
Příloha 4	výkres: PŘEDKOVACÍ ZÁPUSTKA .1	č.v.: DP2012-04
Příloha 5	výkres: DOKONČOVACÍ ZÁPUSTKA .1	č.v.: DP2012-05
Příloha 6	výkres: KOVACÍ ZÁPUSTKY .1	č.v.: DP2012-06
Příloha 7	výkres: VYHAZOVACÍ KOLÍK .1	č.v.: DP2012-07
Příloha 8	výkres: UPÍNÁNÍ ZÁPUSTEK .1	č.v.: DP2012-08
Příloha 9	výkres: VÝKOVEK - d150,5 .2	č.v.: DP2012-09
Příloha 10	výkres: NEOSTŘIŽENÝ VÝKOVEK .2	č.v.: DP2012-10
Příloha 11	výkres: PŘEDKOVACÍ ZÁPUSTKA .2	č.v.: DP2012-11
Příloha 12	výkres: DOKONČOVACÍ ZÁPUSTKA .2	č.v.: DP2012-12
Příloha 13	výkres: KOVACÍ ZÁPUSTKY .2	č.v.: DP2012-13
Příloha 14	výkres: VYHAZOVACÍ KOLÍK .2	č.v.: DP2012-14
Příloha 15	výkres: UPÍNÁNÍ ZÁPUSTEK .2	č.v.: DP2012-15
Příloha 16	diagram: Rebeljski - Brjuchanov	
Příloha 17	diagram: EUMUCO	
Příloha 18	prospekt: svislý kovací lis Šmeral LMZ 2500	
Příloha 19	prospekt: upínače zápustek – katalog TS	
Příloha 20	prospekt: ostřihovací lis Šmeral LDO 315 A/1	
Příloha 21	prospekt: mazivo LUBRODAL F 22 B	
Příloha 22	obrázky výkovků – Autodesk Inventor	